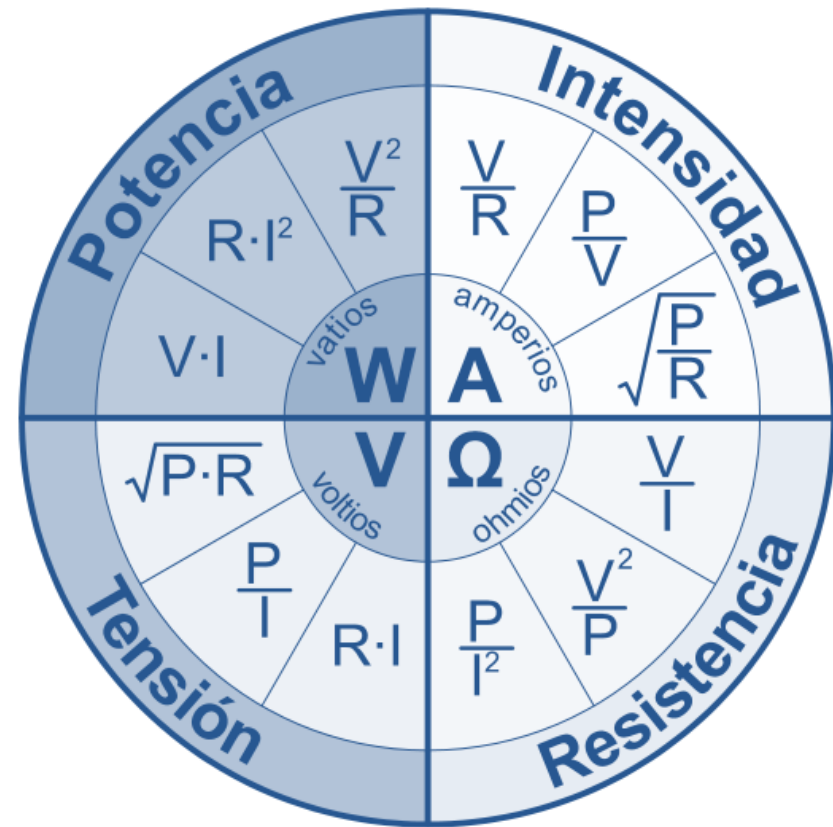


# Resistive Sensors



# Sensores Resistivos



# Resistive Sensors

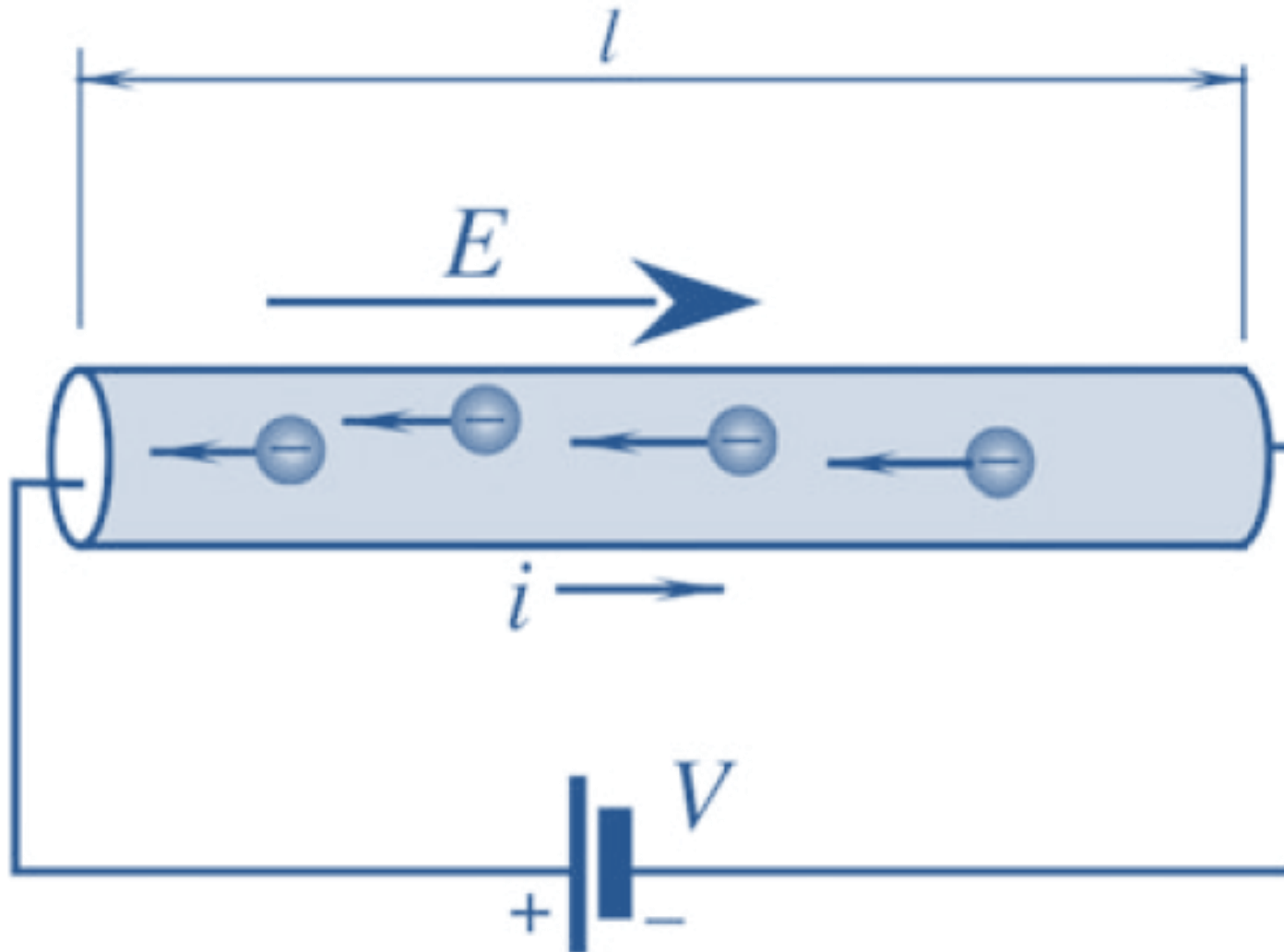
Resistance

$$E = \frac{V}{l}$$

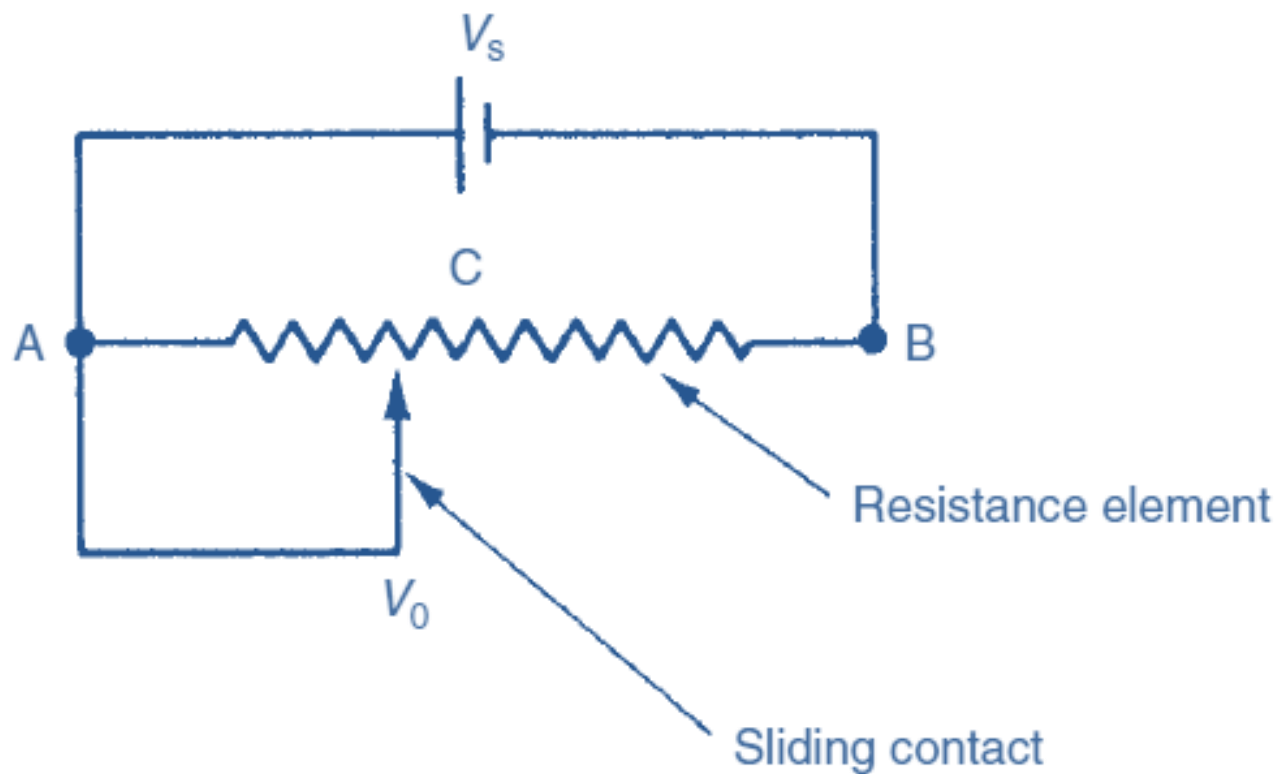
$$i = \frac{dq}{dt}$$

1 milliampere (mA)	$10^{-3}$ A
1 microampere ( $\mu$ A)	$10^{-6}$ A
1 nanoampere (nA)	$10^{-9}$ A
1 picoampere (pA)	$10^{-12}$ A
1 femtoampere (fA)	$10^{-15}$ A

# Resistive Sensors



## The resistive potentiometer

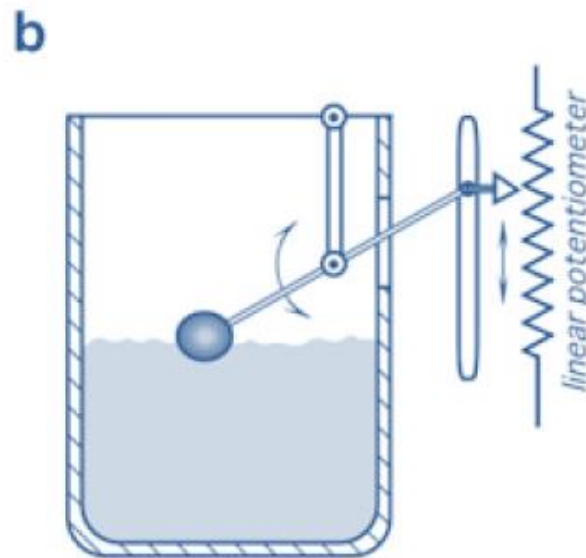
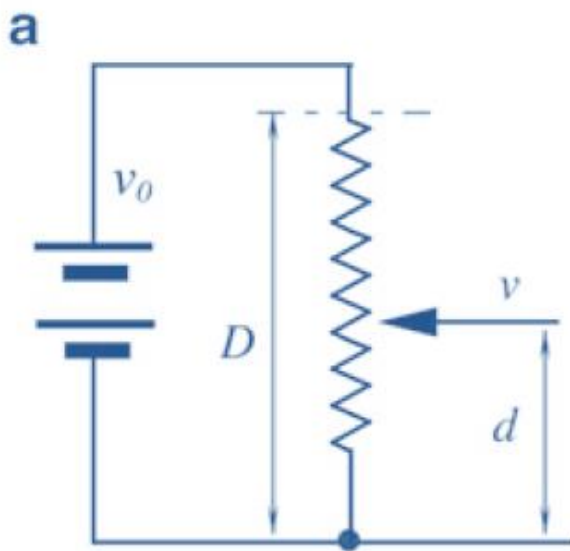




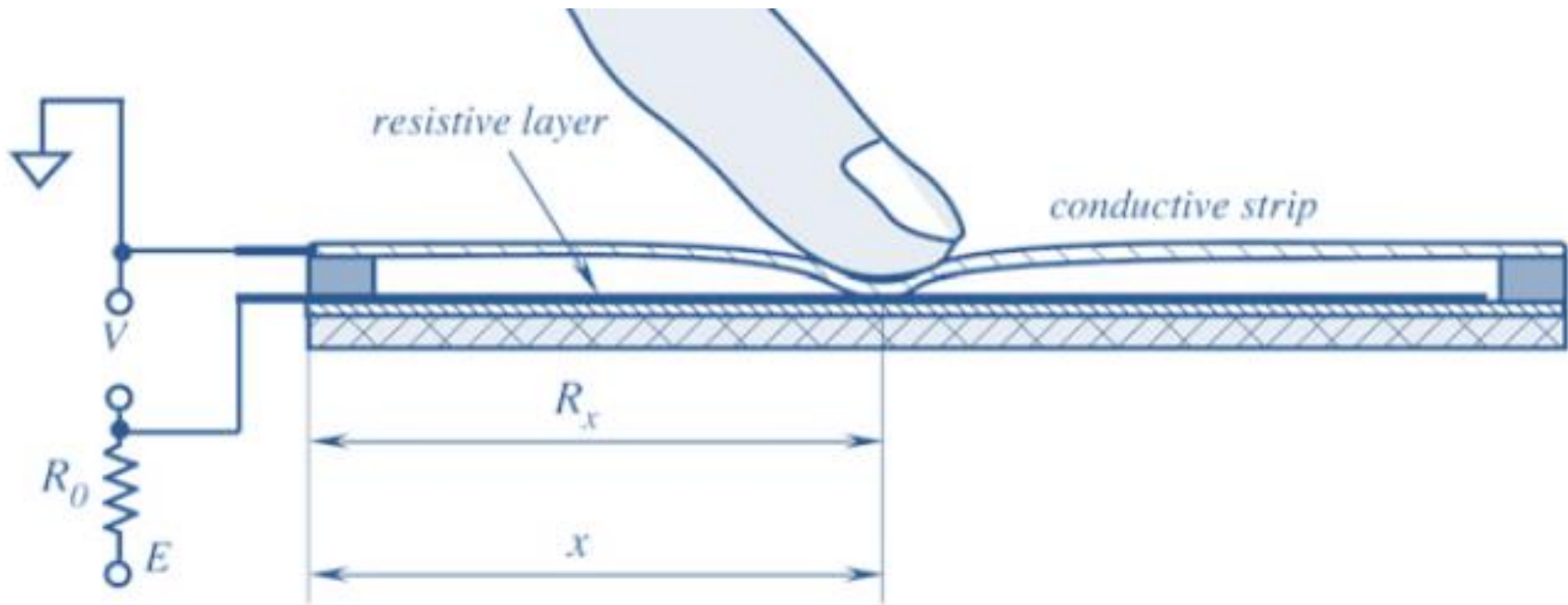
# Resistive Sensors



# Resistive Sensors

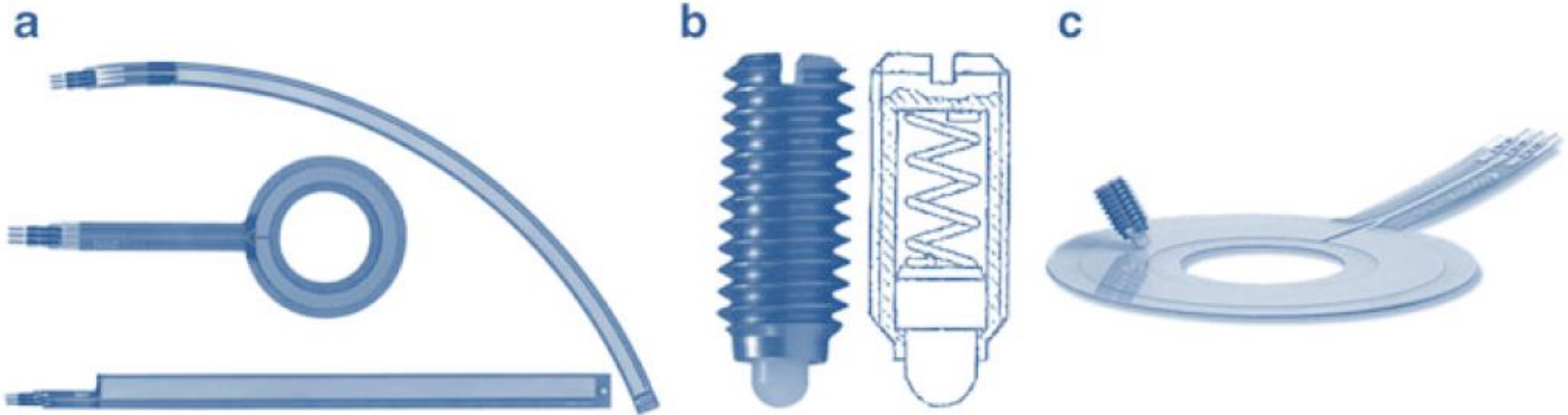


# Resistive Sensors

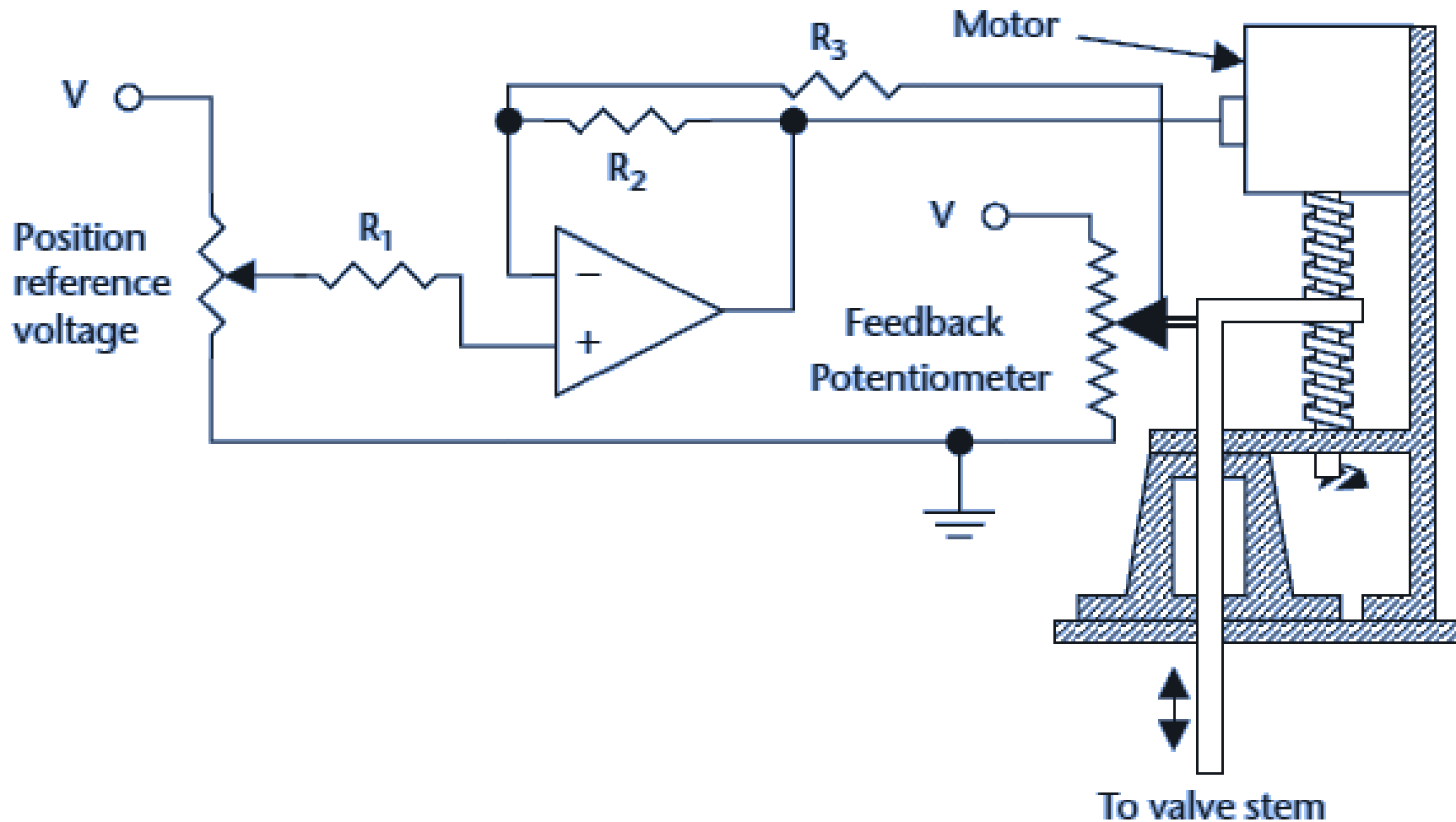




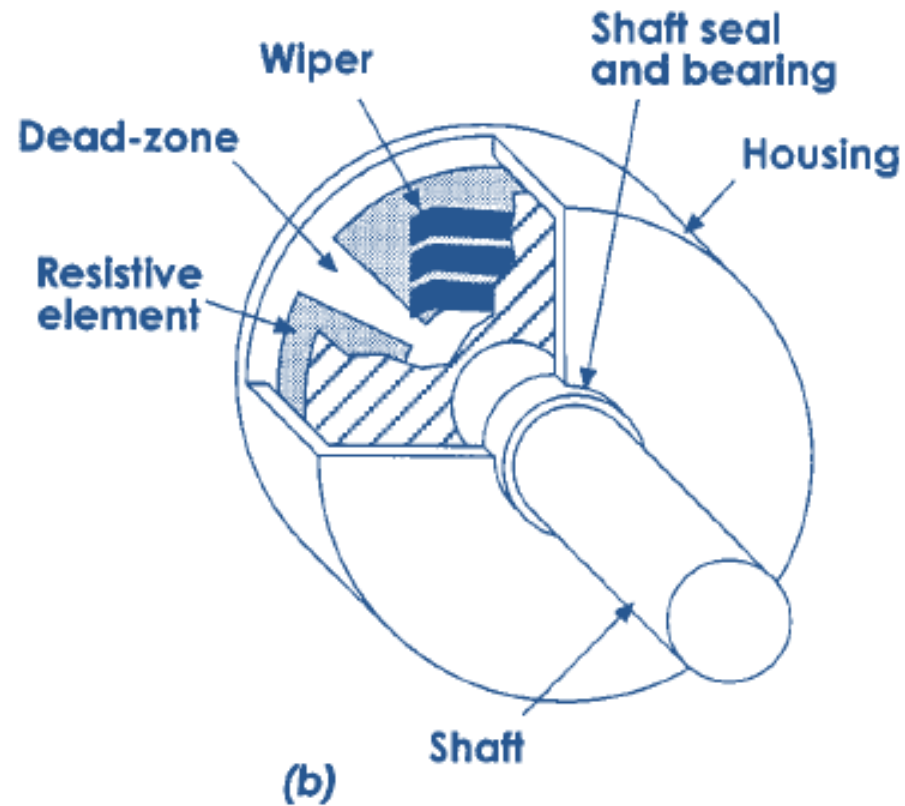
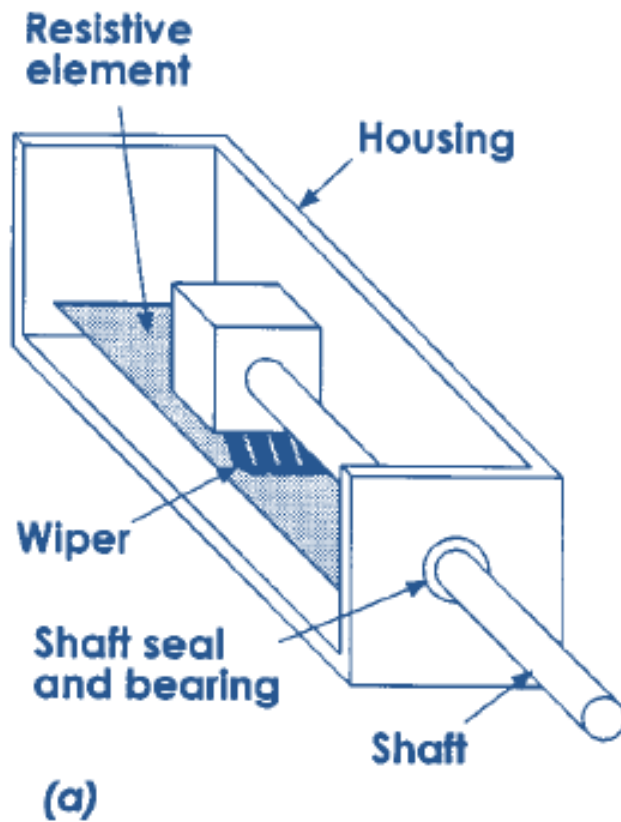
# Resistive Sensors



# Resistive Sensors

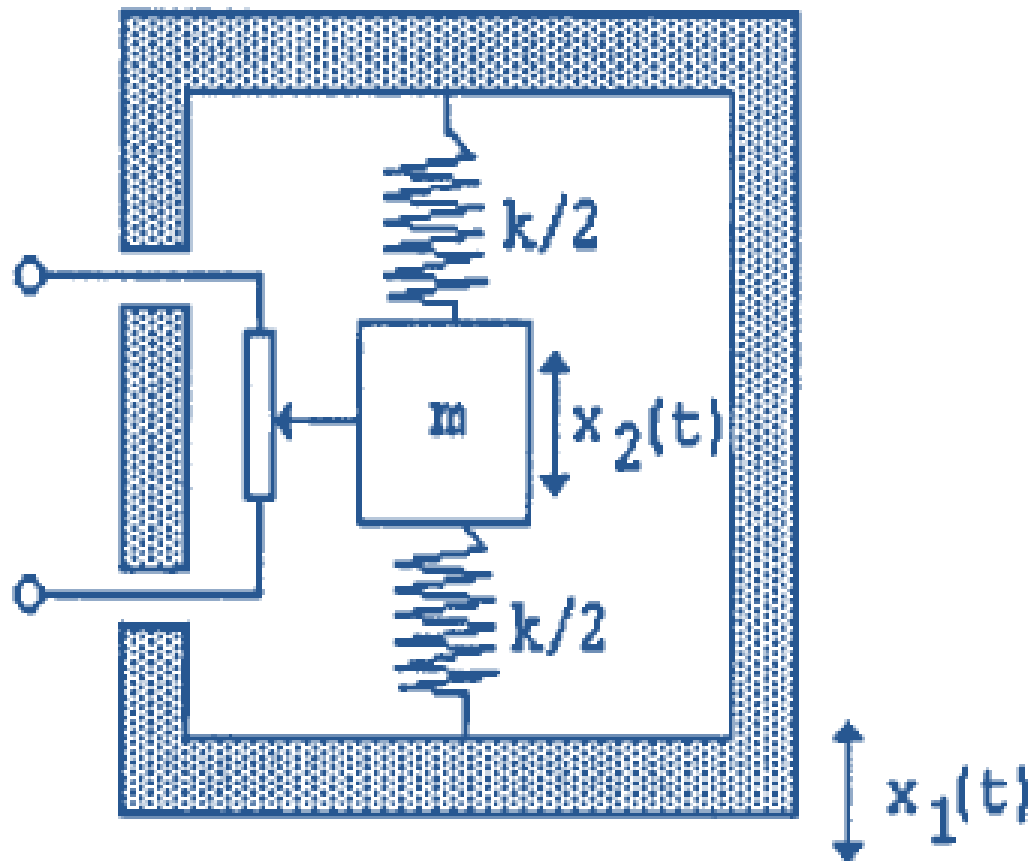


## Resistive Displacement Sensors

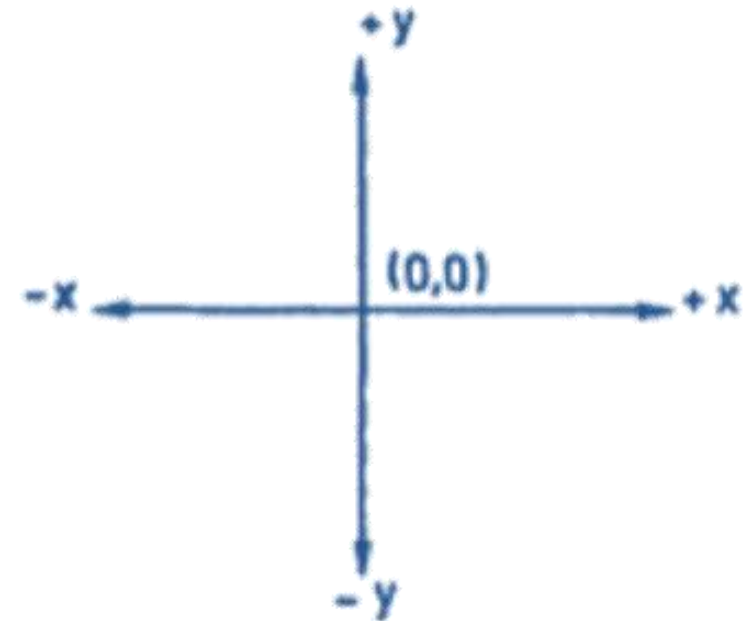
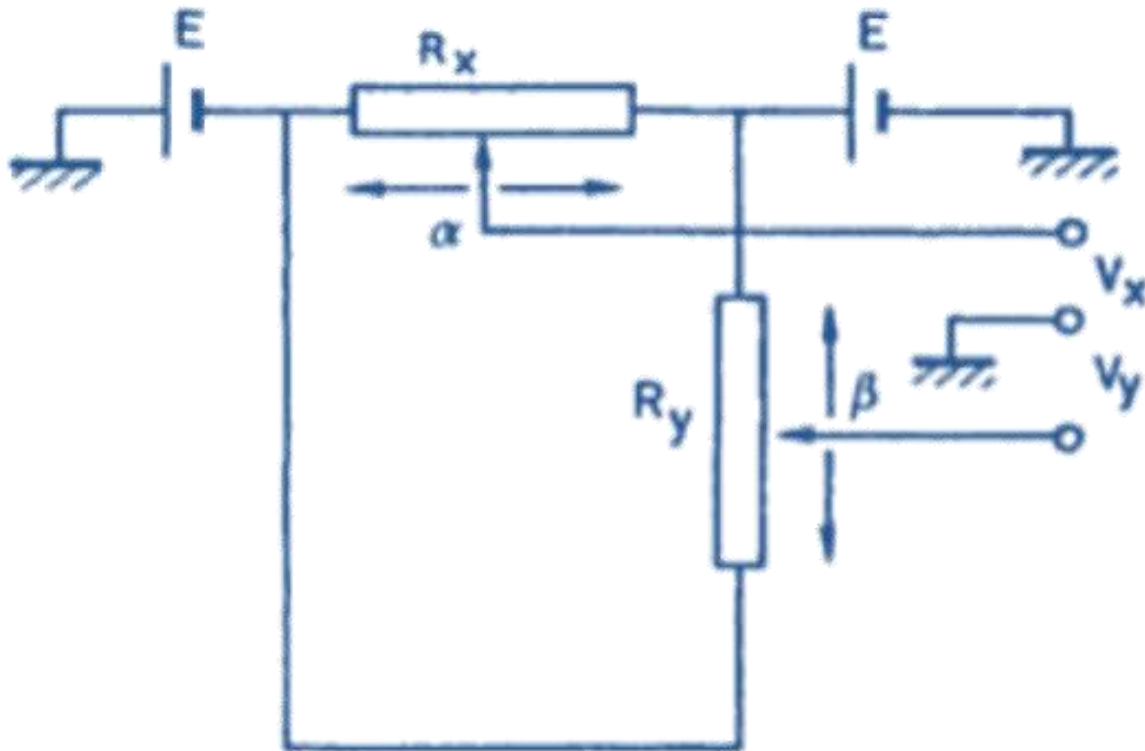


# Resistive Sensors

## Potentiometer accelerometer

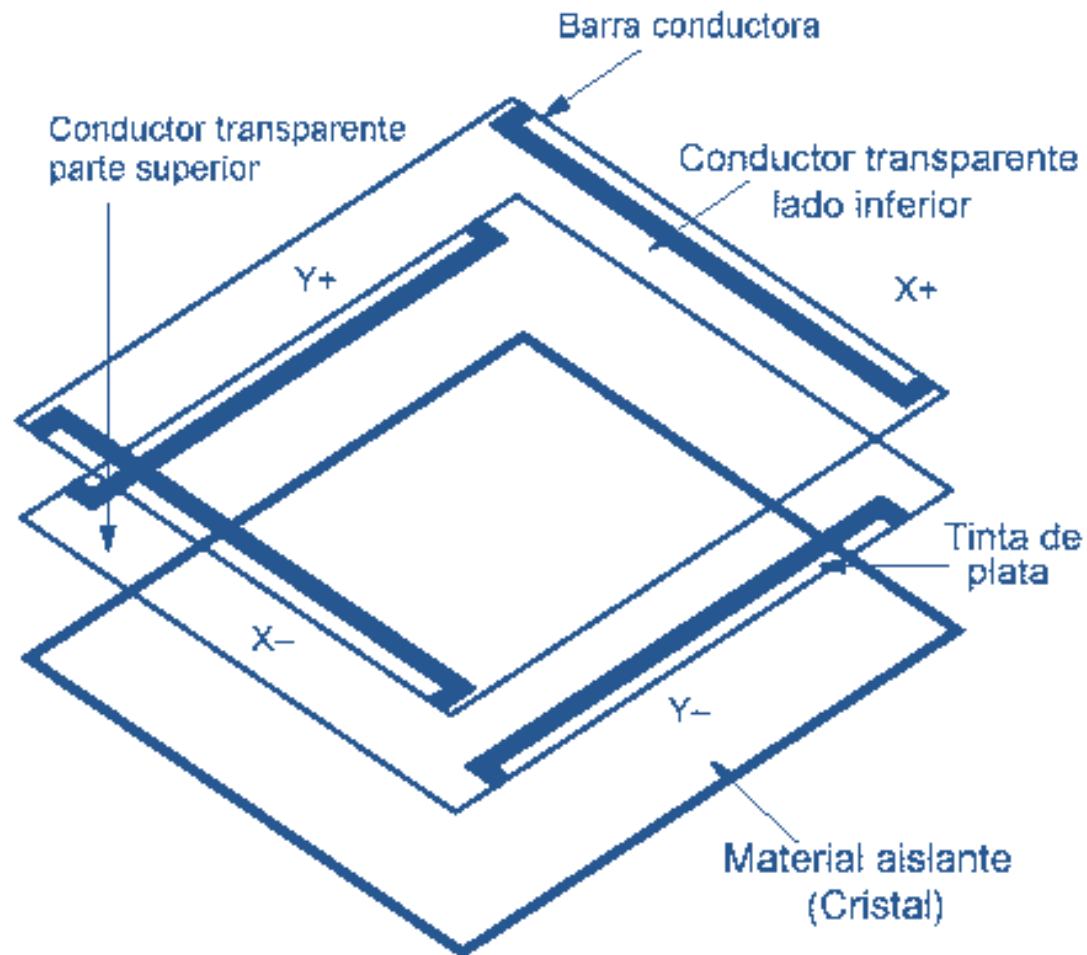


# Resistive Sensors





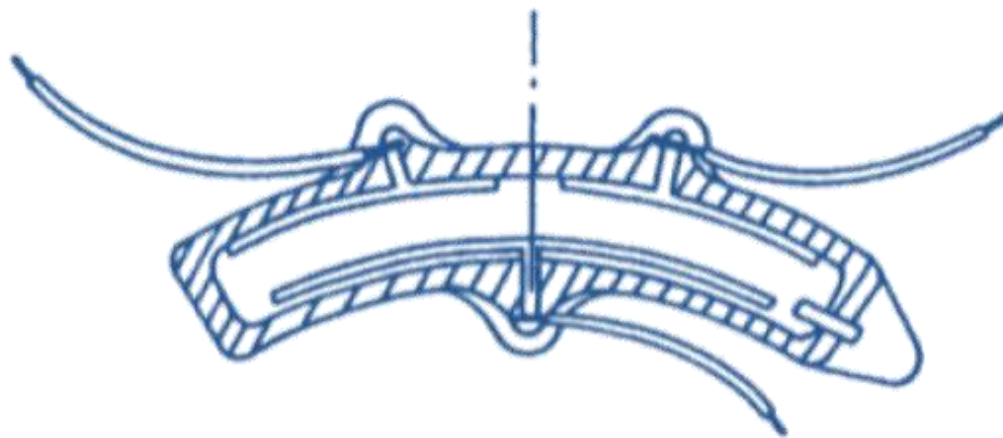
# Resistive Sensors



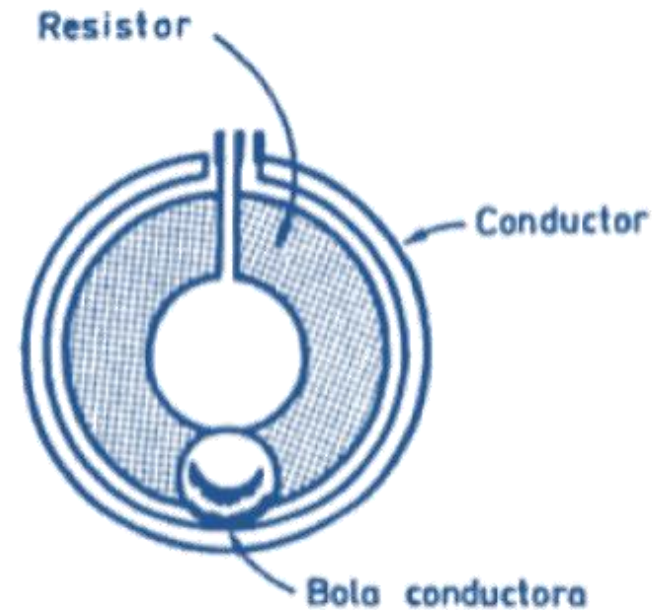
# Resistive Sensors



# Resistive Sensors

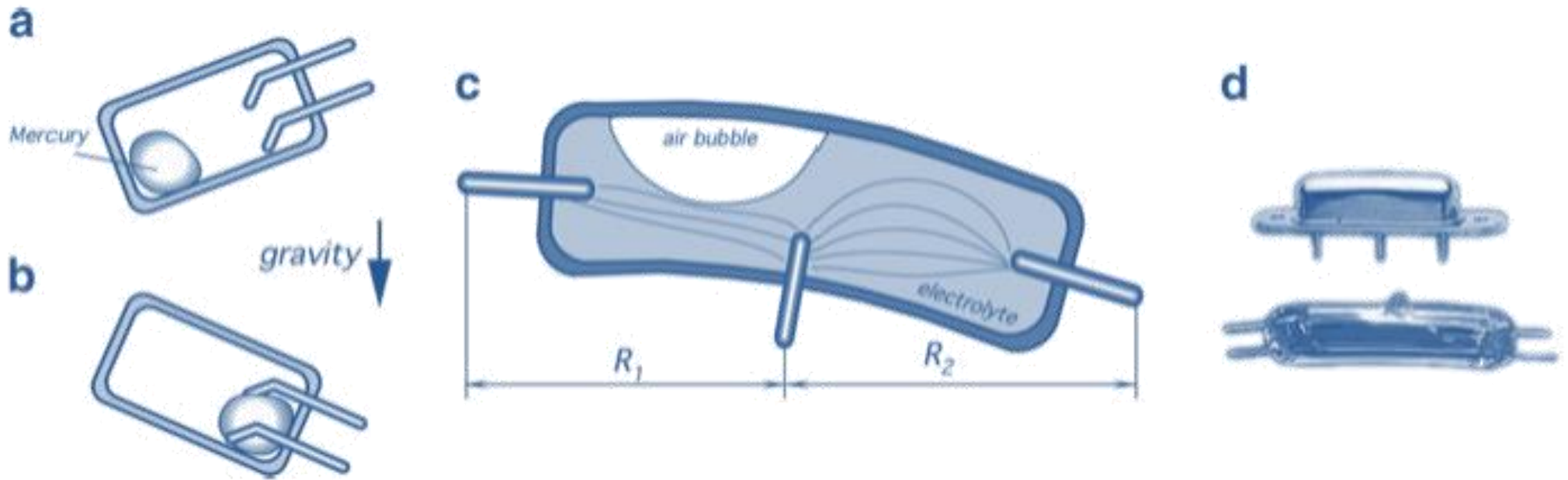


a)



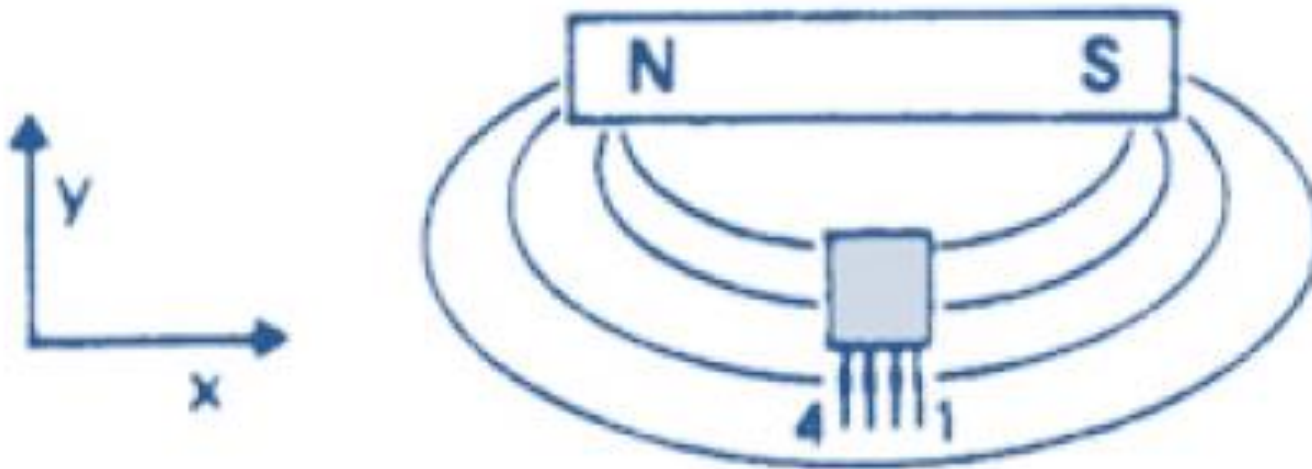
b)

# Resistive Sensors



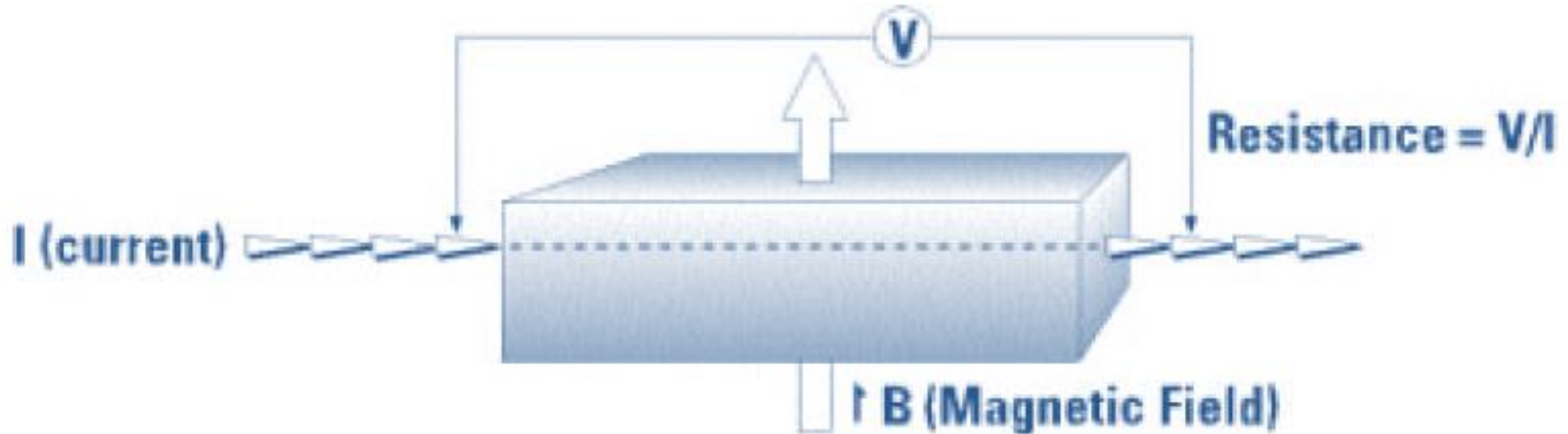


## Magnetoresistive Sensors

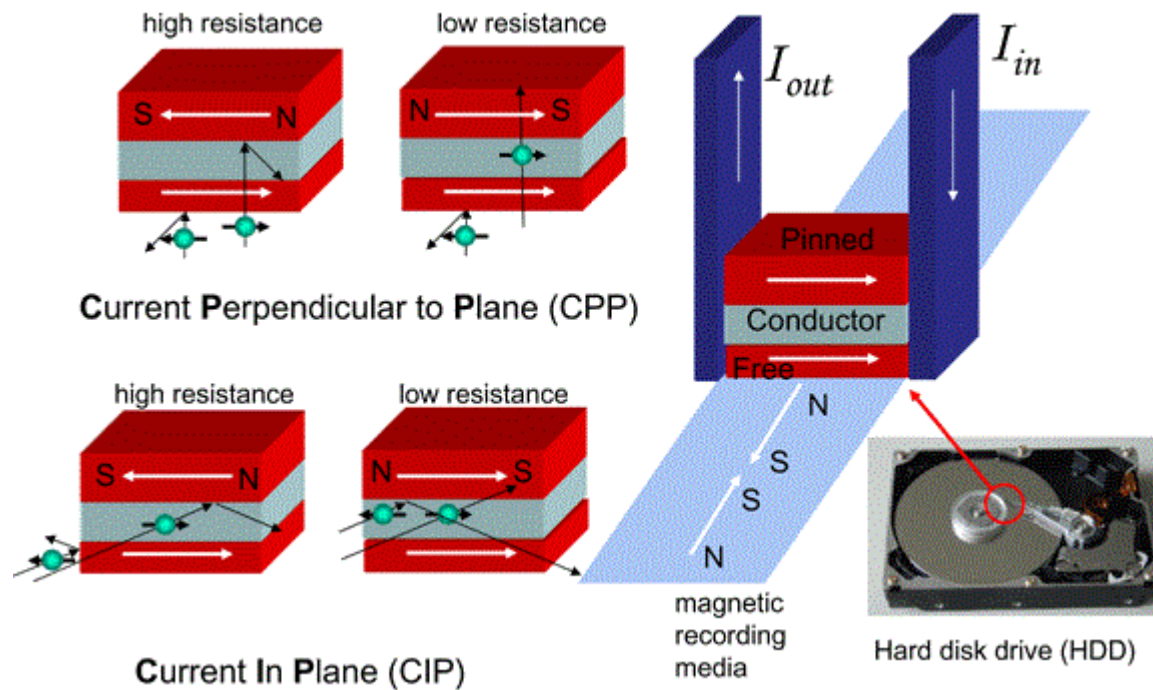




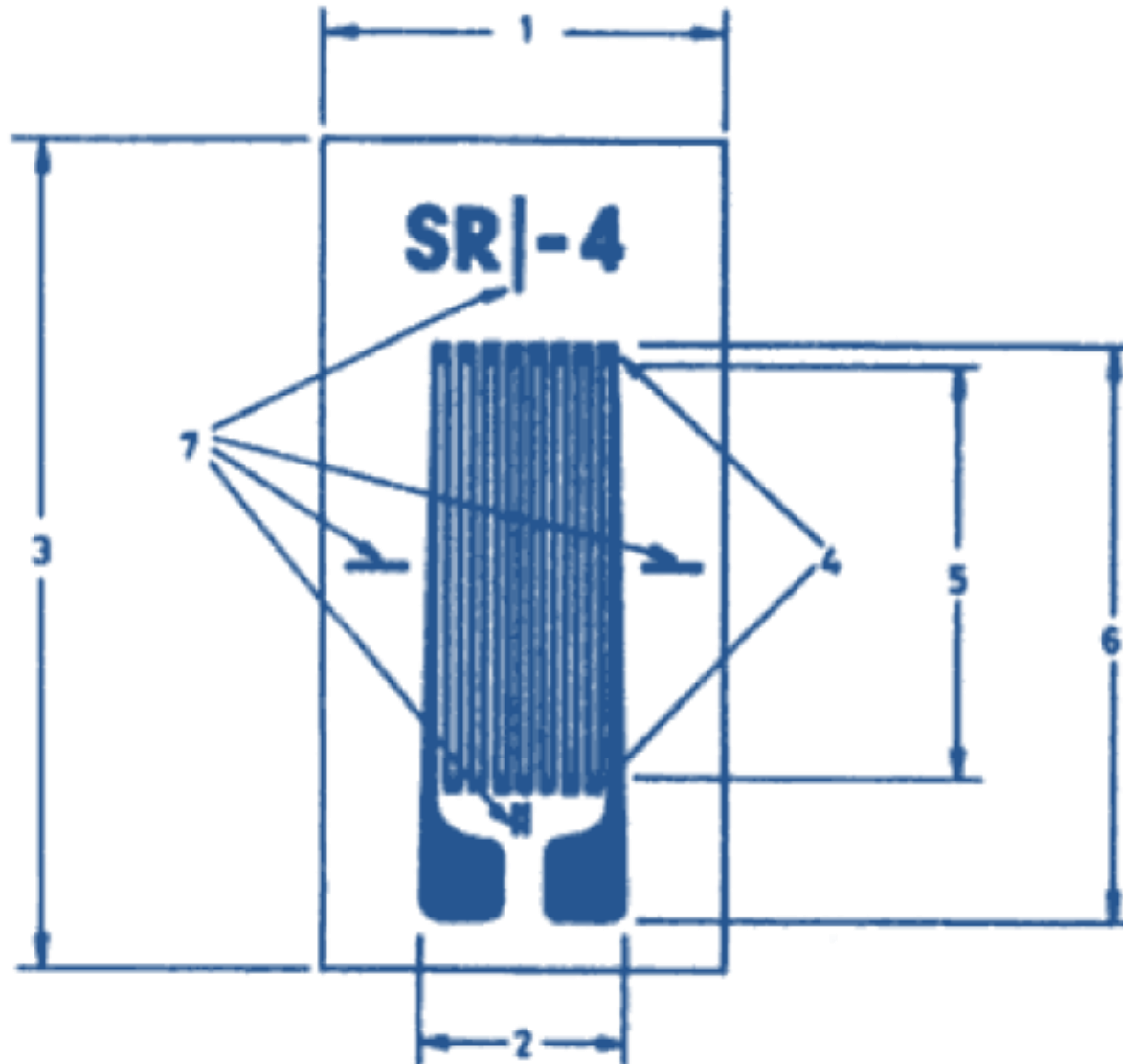
## Magnetoresistive Sensors



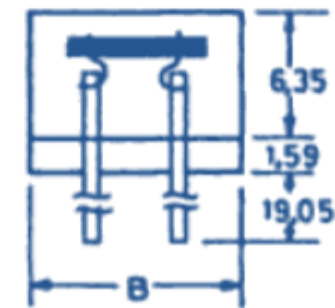
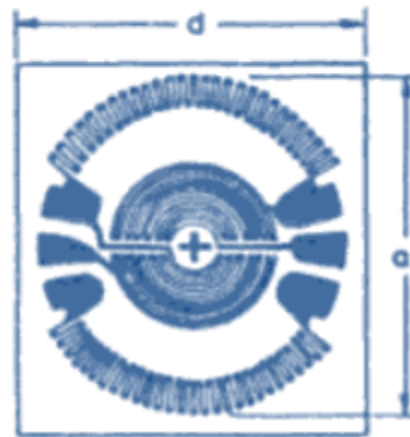
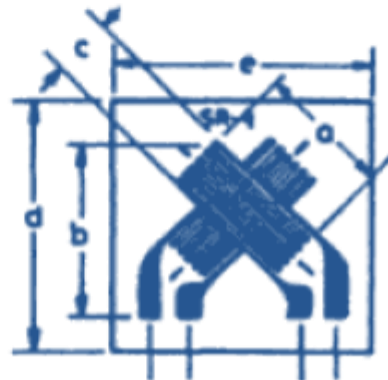
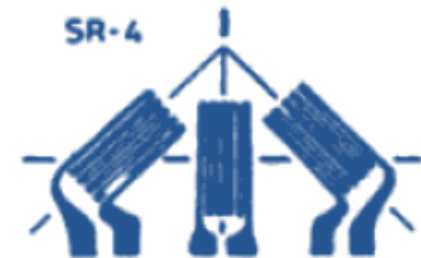
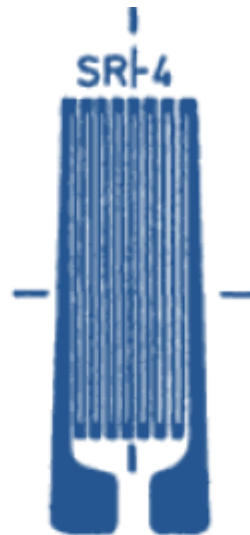
# Resistive Sensors



# Resistive Sensors

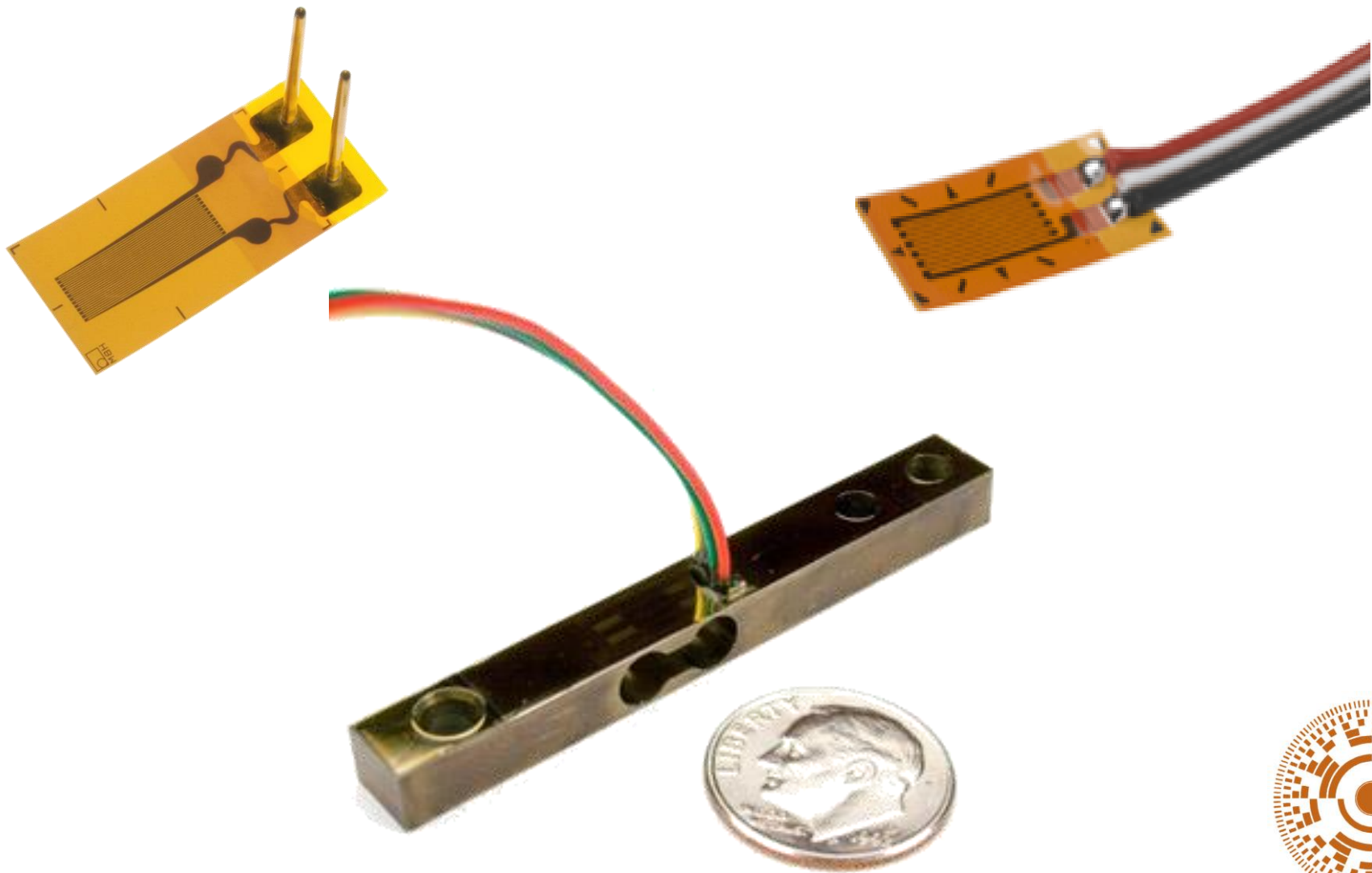


# Resistive Sensors





# Resistive Sensors



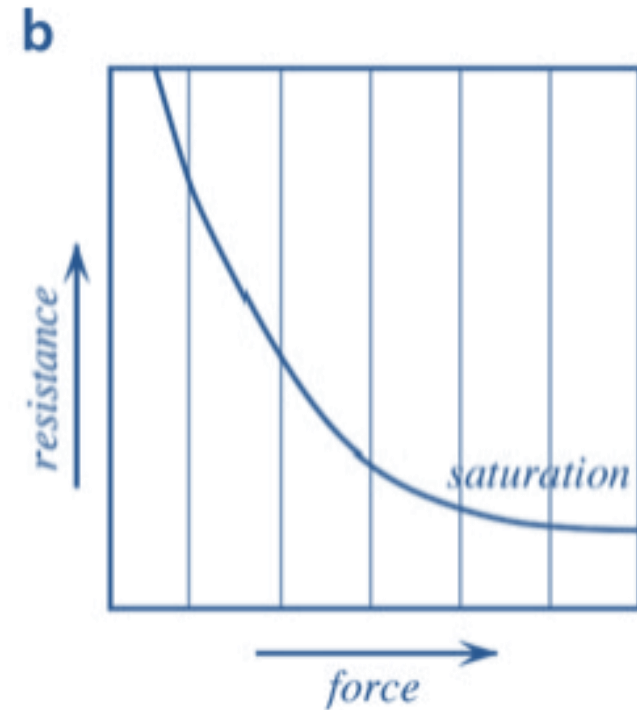
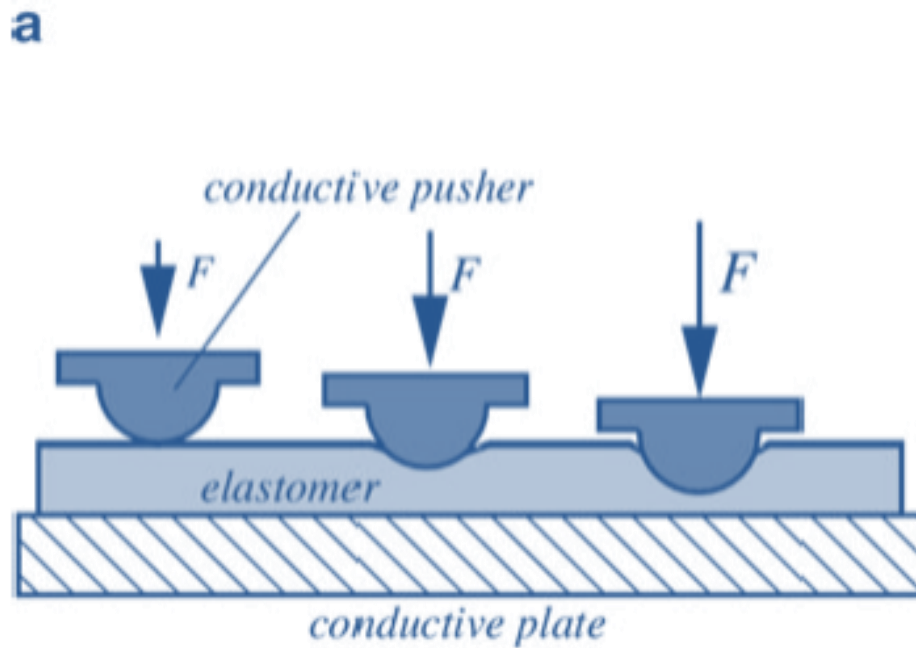


# Resistive Sensors

## Velostat



# Resistive Sensors



# Resistive Sensors



# Resistive Sensors

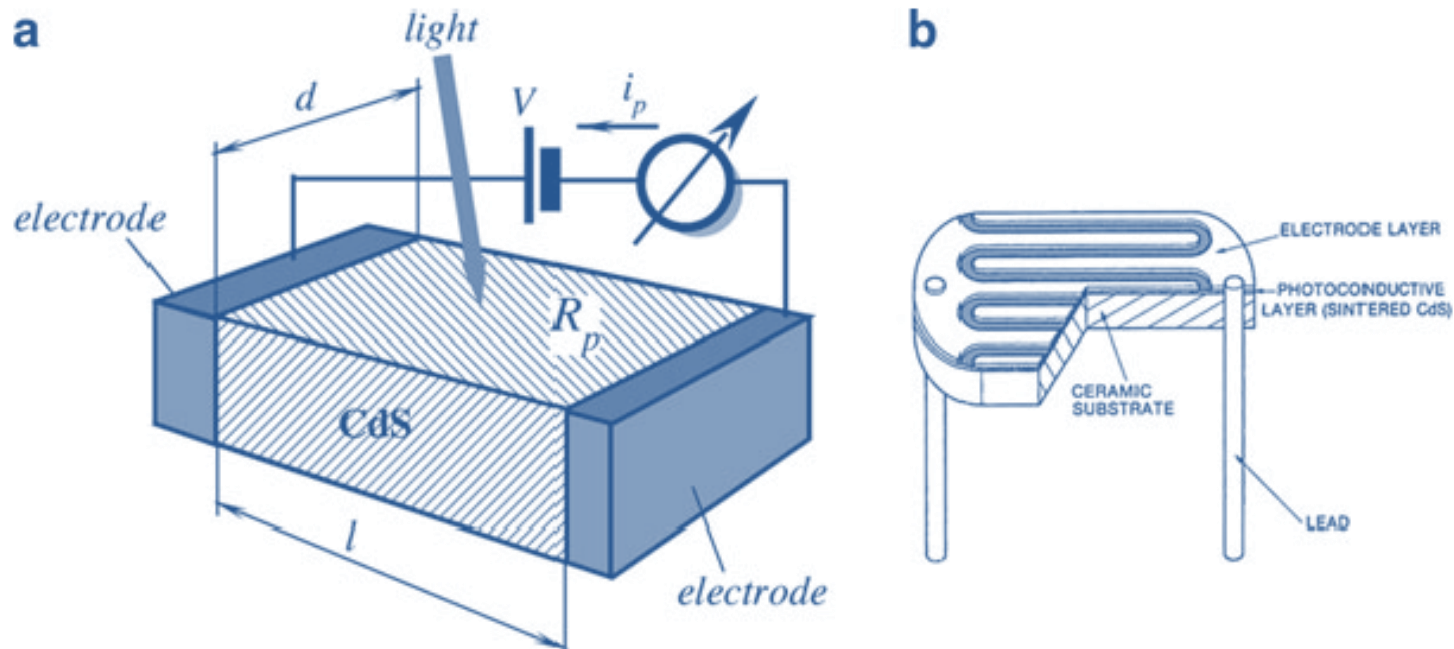
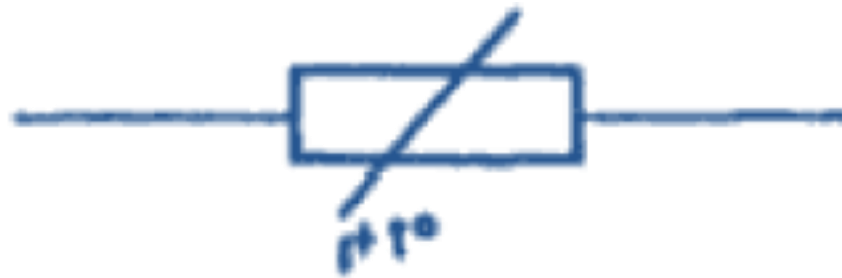


Fig. 14.11 Structure of a photoresistor (a) and a plastic-coated photoresistor having a serpentine shape (b)

# Resistive Sensors

Sensor de temperatura RTD (Resistor Temperature detector) PT100

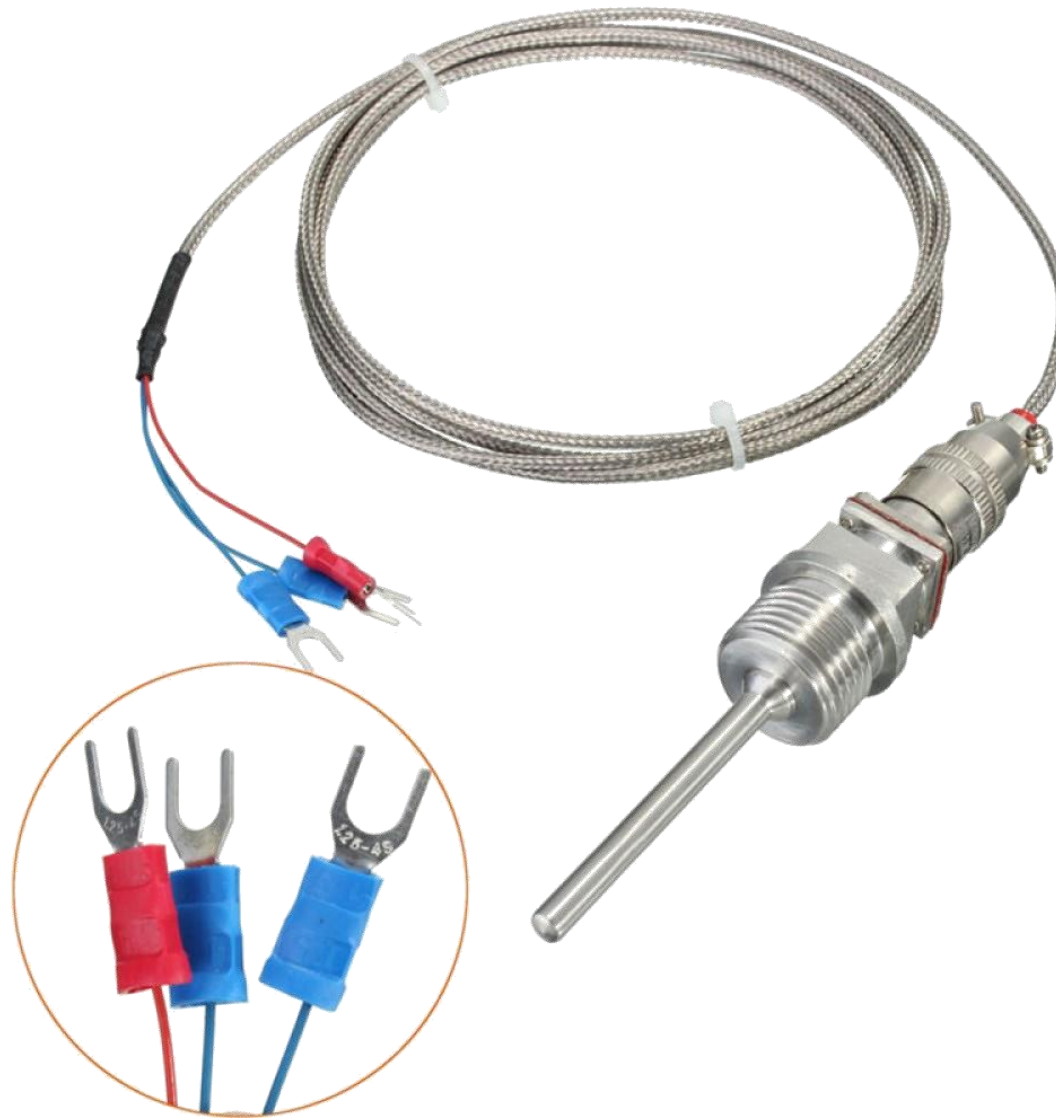


$$R = R_0 (1 + \alpha_1 T + \alpha_2 T^2 + \dots + \alpha_n T^n)$$

$$R = R_0 (1 + \alpha T)$$



# Resistive Sensors

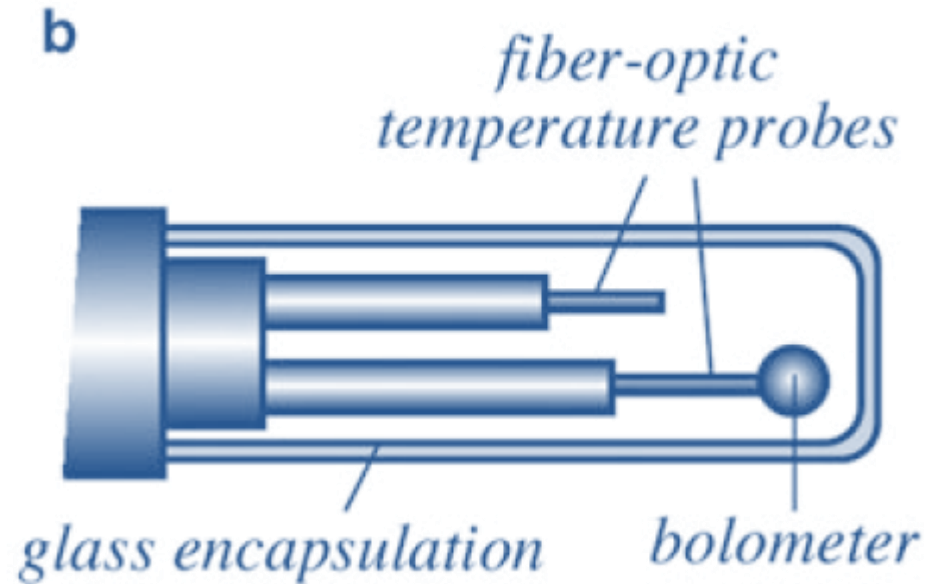
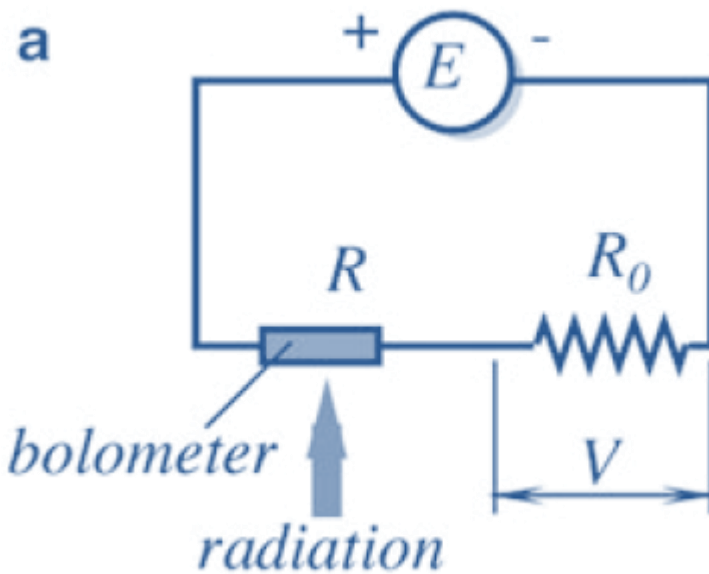


## RTD

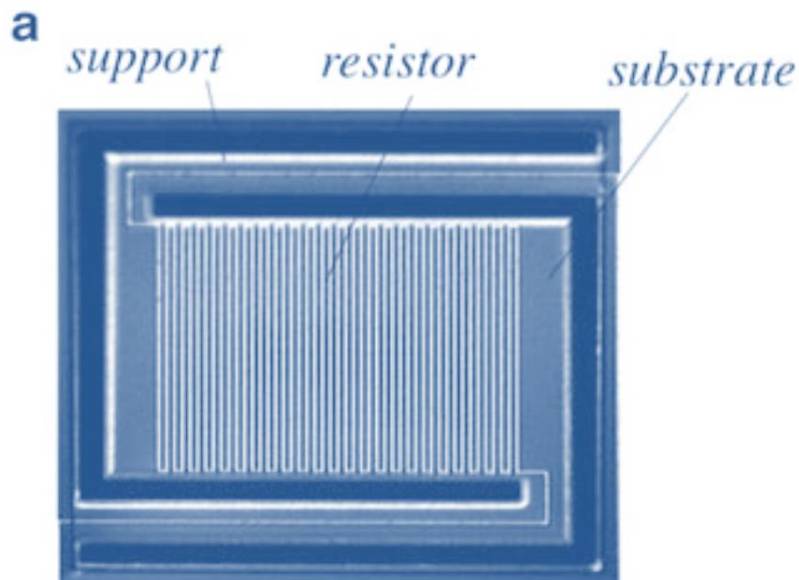
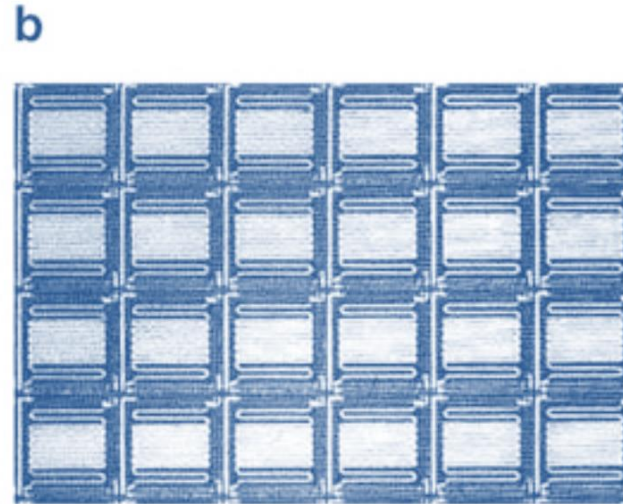
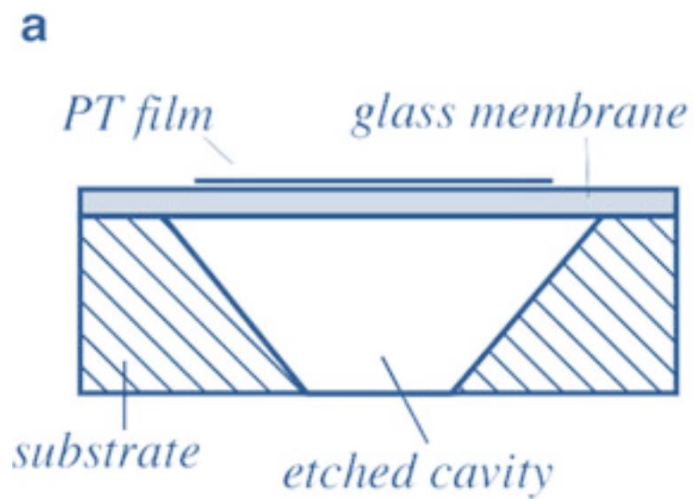
Coeficiente de disipación térmica  $\sigma$  (W/ K)

$$DT = dT = Pd / \sigma = I * I * R / \sigma$$

## Microbolometers



## Microbolometers





## Ceramic Thermistors NTC, PTC.



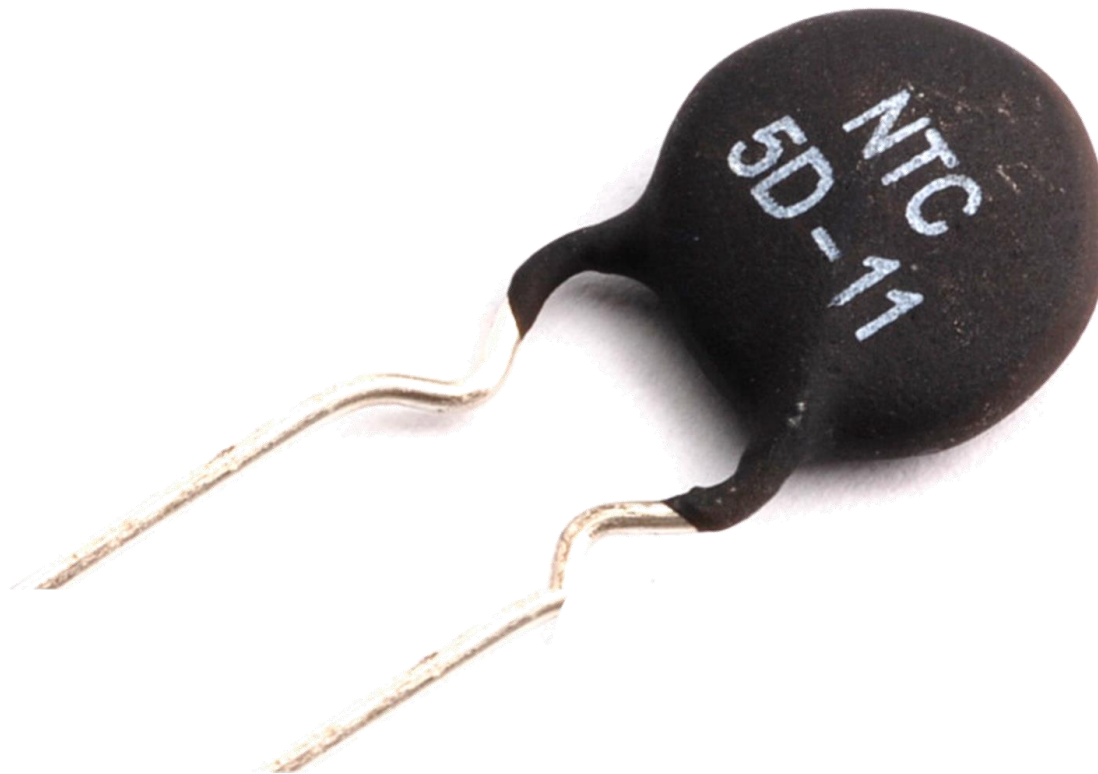
$$R_T = R_0 \exp [B (1/T - 1/T_0)]$$

donde  $R_0$  es la resistencia a 25°C u otra temperatura de referencia, y  $T_0$  es dicha temperatura expresada en kelvins. En el caso anterior,  $T_0 = 273 + 25 = 298$  K. La figura muestra la dependencia real entre  $R_T$  y  $T$  para algunos modelos.

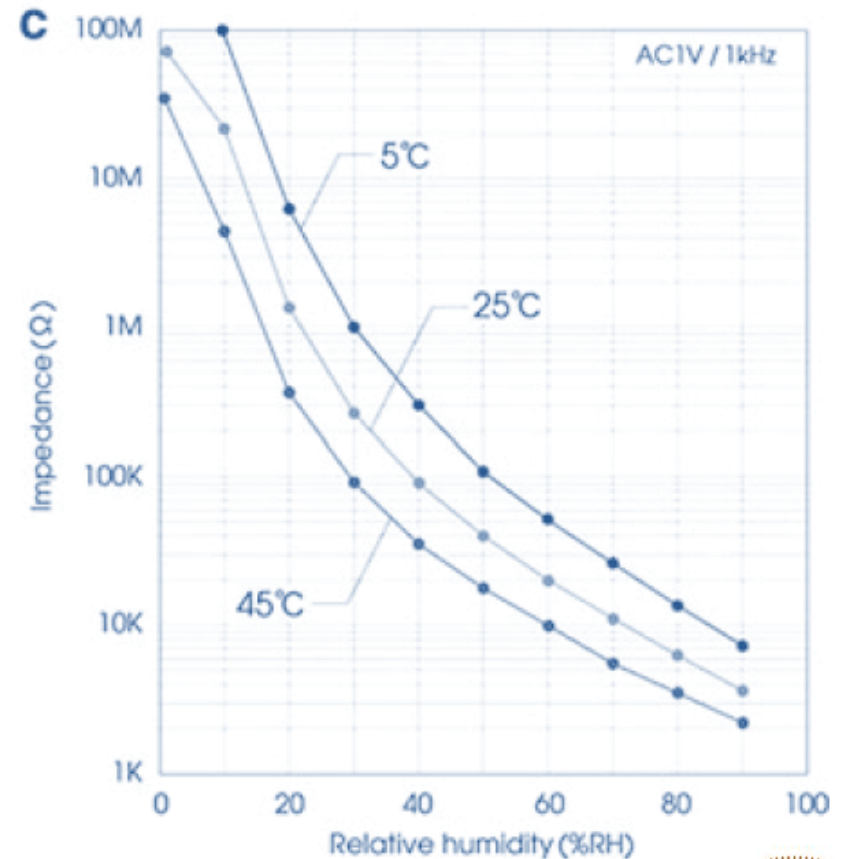
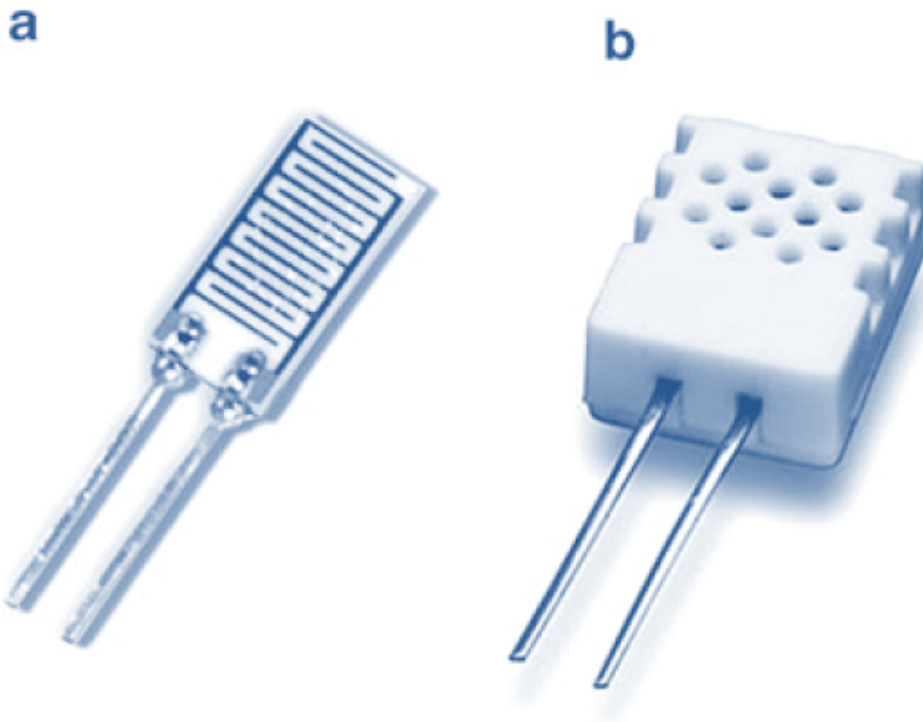
El parámetro  $B$  (o  $\beta$ ) es la denominada temperatura característica del material, y tiene valores de 2000 K a 5000 K.



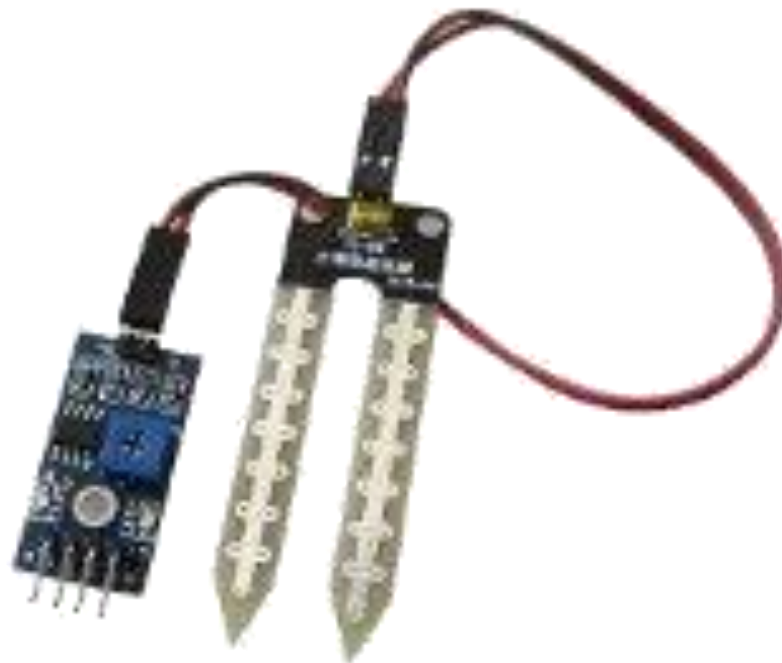
# Resistive Sensors



## Resistive Humidity Sensors



# Resistive Sensors



# Resistive Sensors

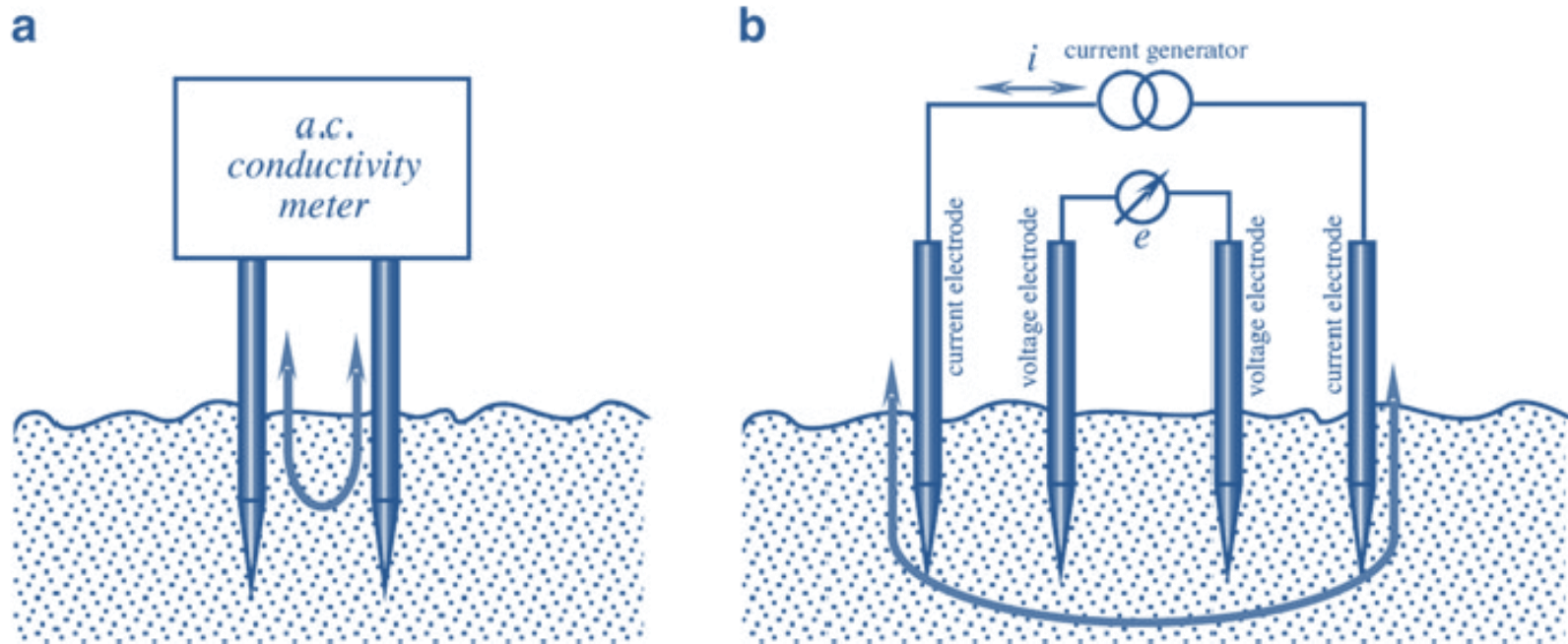
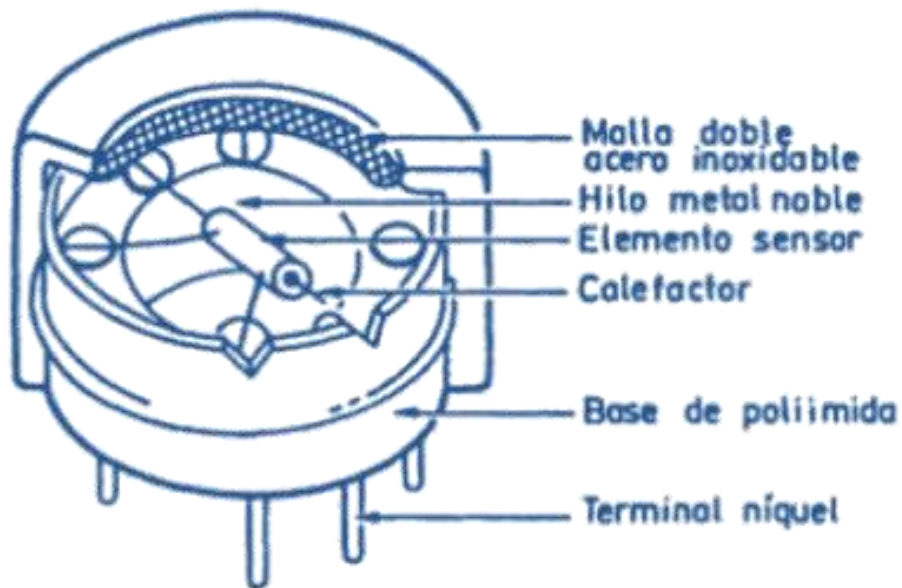


Fig. 13.8 Measurement of soil electrical conductivity with two-electrode (a) and four-electrode (b) systems

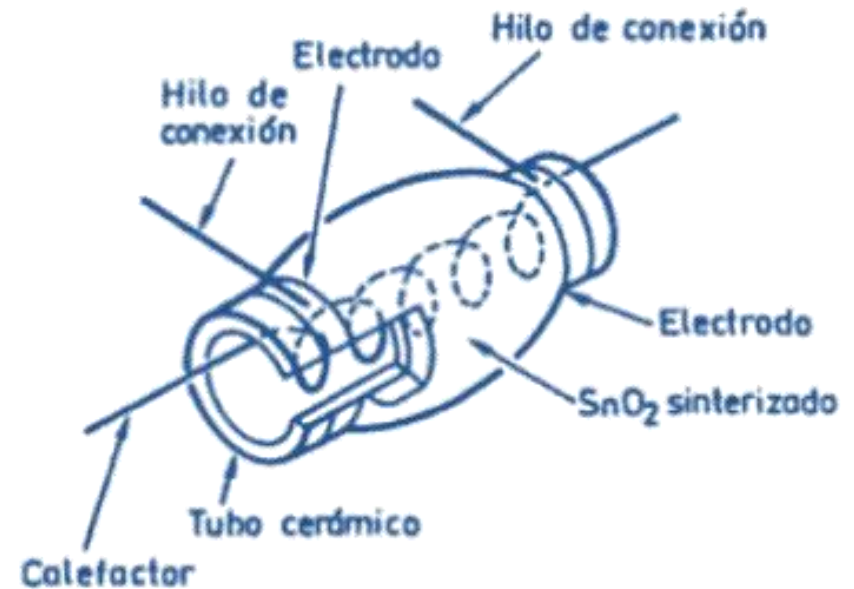


# Resistive Sensors



a)

Sensor de gas de óxido de estaño

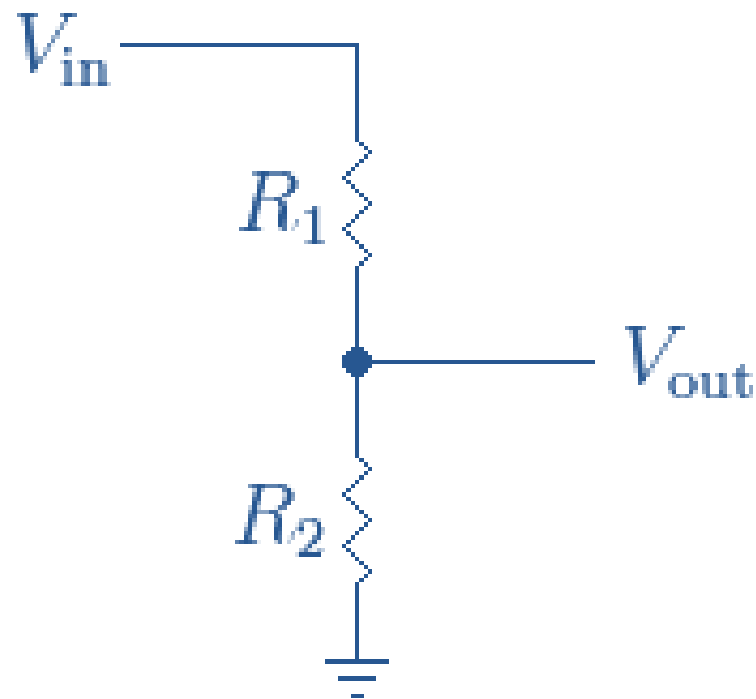


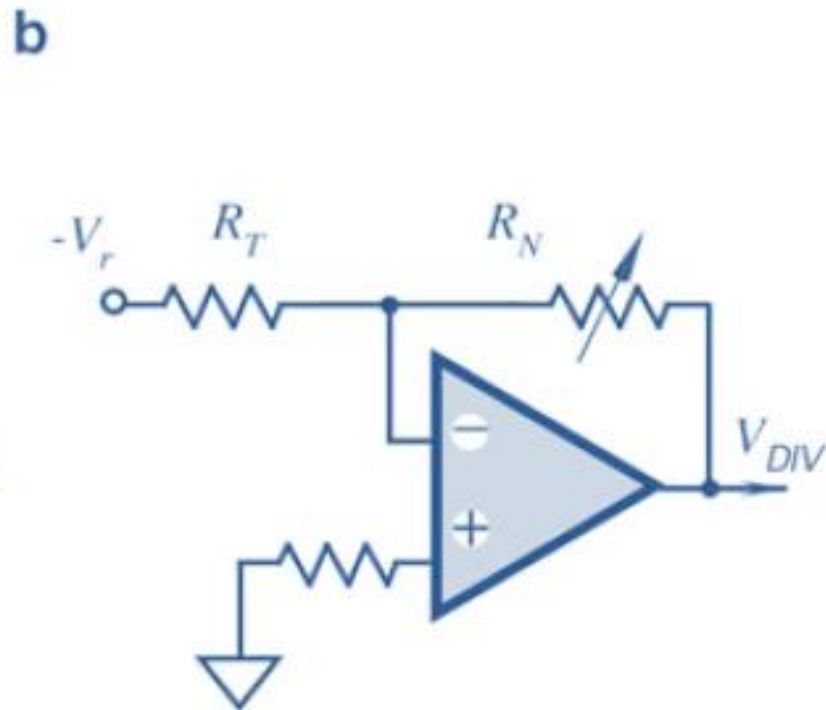
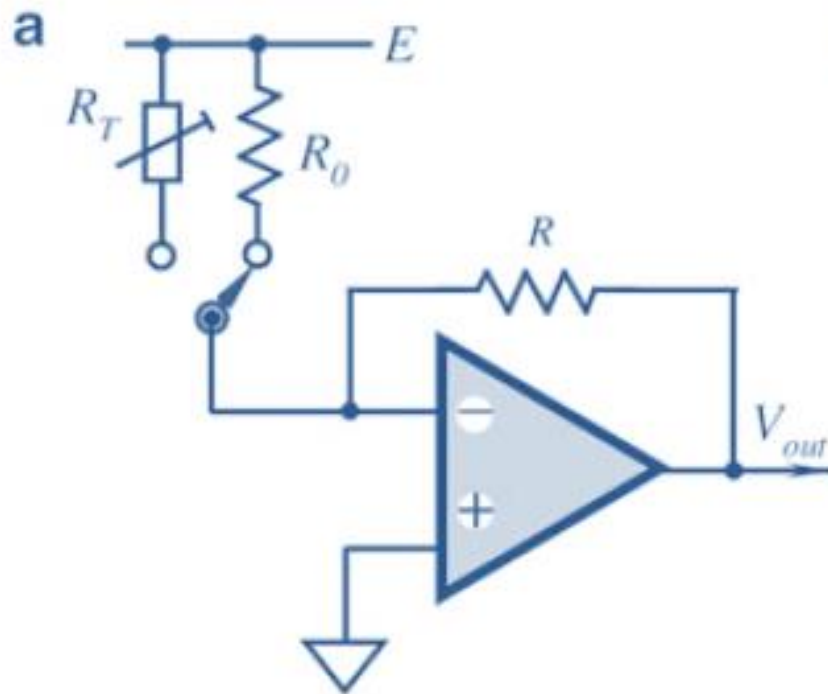
b)



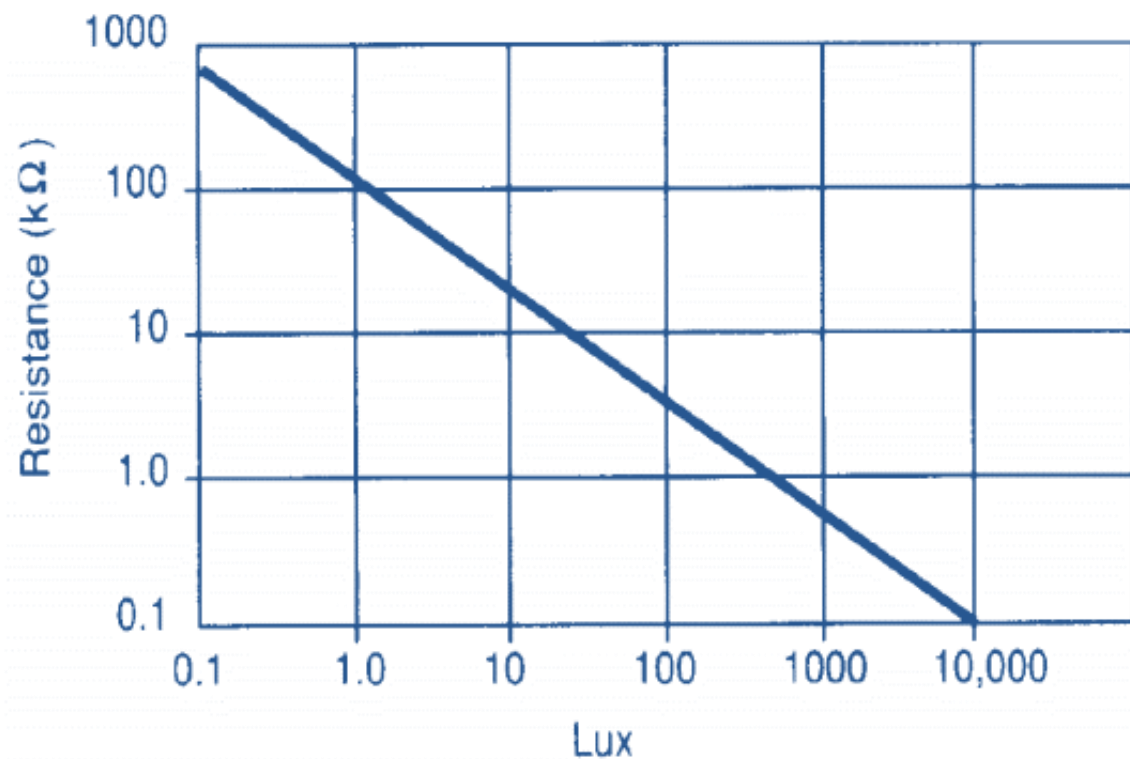
# Resistive sensors conditioning

# Resistive Sensors





# Sensores Resistivos



Demonstrate mathematically by means of differential calculus, analysis of inflection points, maximums and minimums,

What is the value of the resistance  $R$  that offers Maximum voltage variation in the voltage divider, with a resistive sensor in a range of operation from  $R_{min}$  to  $R_{max}$ ?



# Sensores Resistivos

Un sensor RTD, tiene una  $R_0=150\Omega$ , un  $\alpha=0,0052/K$ , y un coeficiente de disipación térmica de  $6m\text{ W/K}$ . Adecue el sensor de forma tal, que se pueda tener un error por auto calentamiento no superior a  $0,3^\circ\text{ C}$ .

El sensor trabajara en un rango de  $(20\text{ a }200)^\circ\text{ C}$ . Los cambios de temperatura serán digitalizados por un ADC con referencia de  $(0\text{ a }5)V$ . Diseñe un circuito que permita su adecuación.

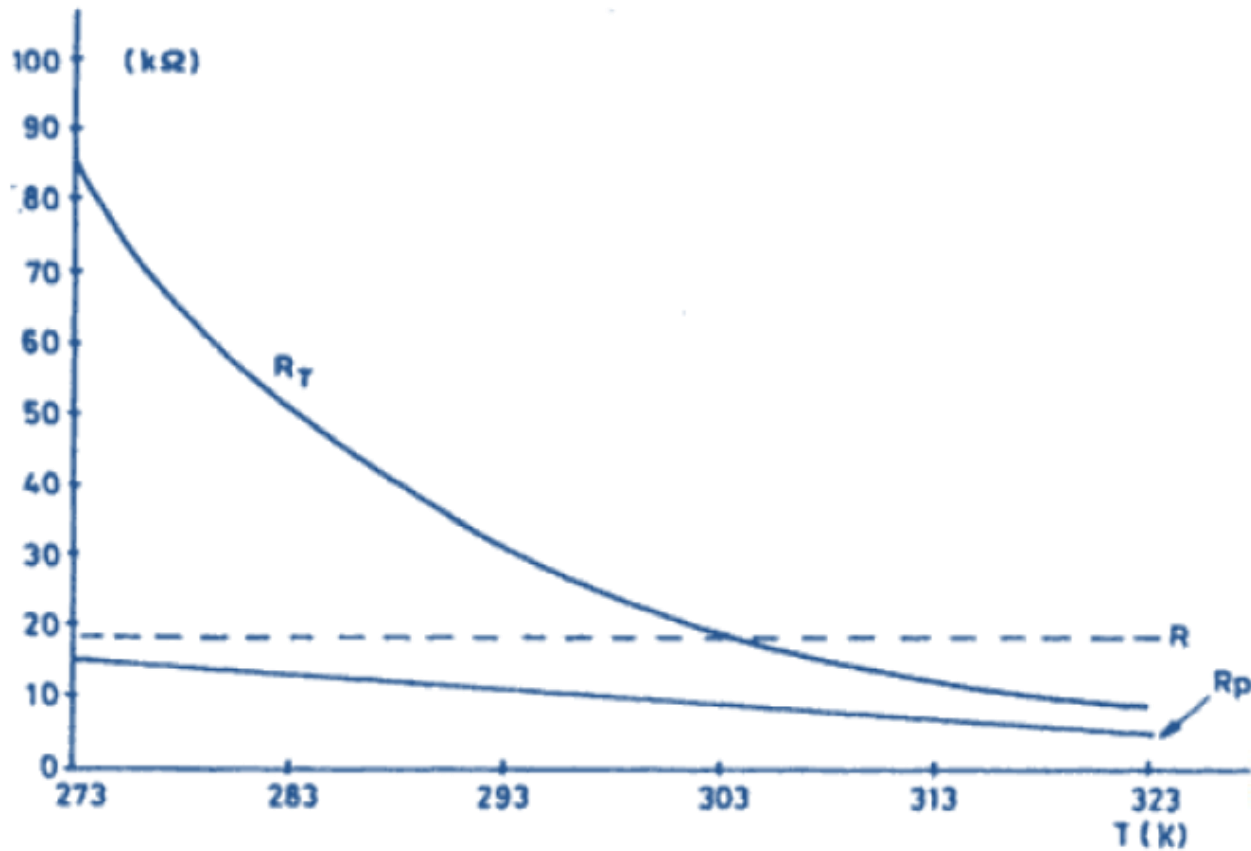
## NTC

Linealizar usando un resistencia en paralelo con el termistor.

Entonces puede estudiarse  $R_T || R = R_p$  como elemento independiente. El resultado es

$$R_p = \frac{R R_T}{R_T + R}$$

# Sensores Resistivos



# Sensores Resistivos

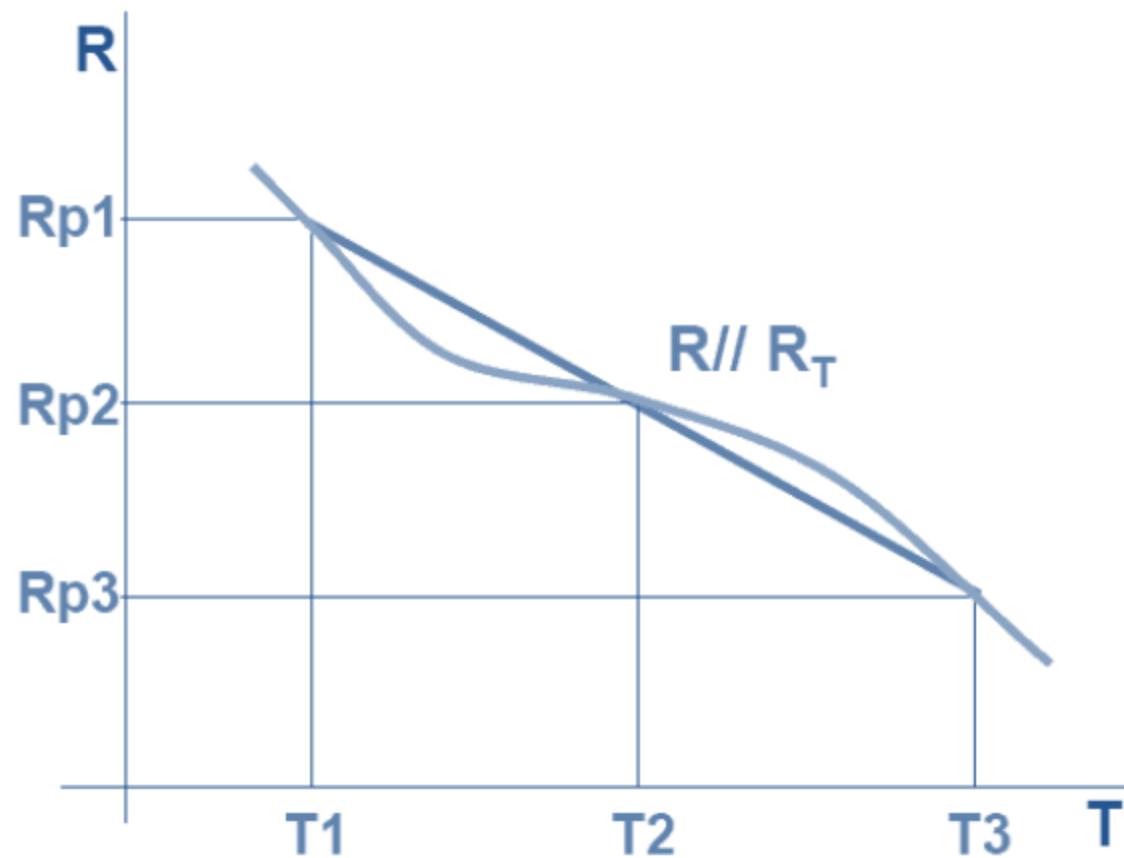
$$T_1 - T_2 = T_2 - T_3$$

$$R_{p1} - R_{p2} = R_{p2} - R_{p3}$$

$$\frac{R R_{T1}}{R + R_{T1}} - \frac{R R_{T2}}{R + R_{T2}} = \frac{R R_{T2}}{R + R_{T2}} - \frac{R R_{T3}}{R + R_{T3}}$$

$$R = \frac{R_{T2} (R_{T1} + R_{T3}) - 2R_{T1} R_{T3}}{R_{T1} + R_{T3} - 2R_{T2}}$$

# Sensores Resistivos

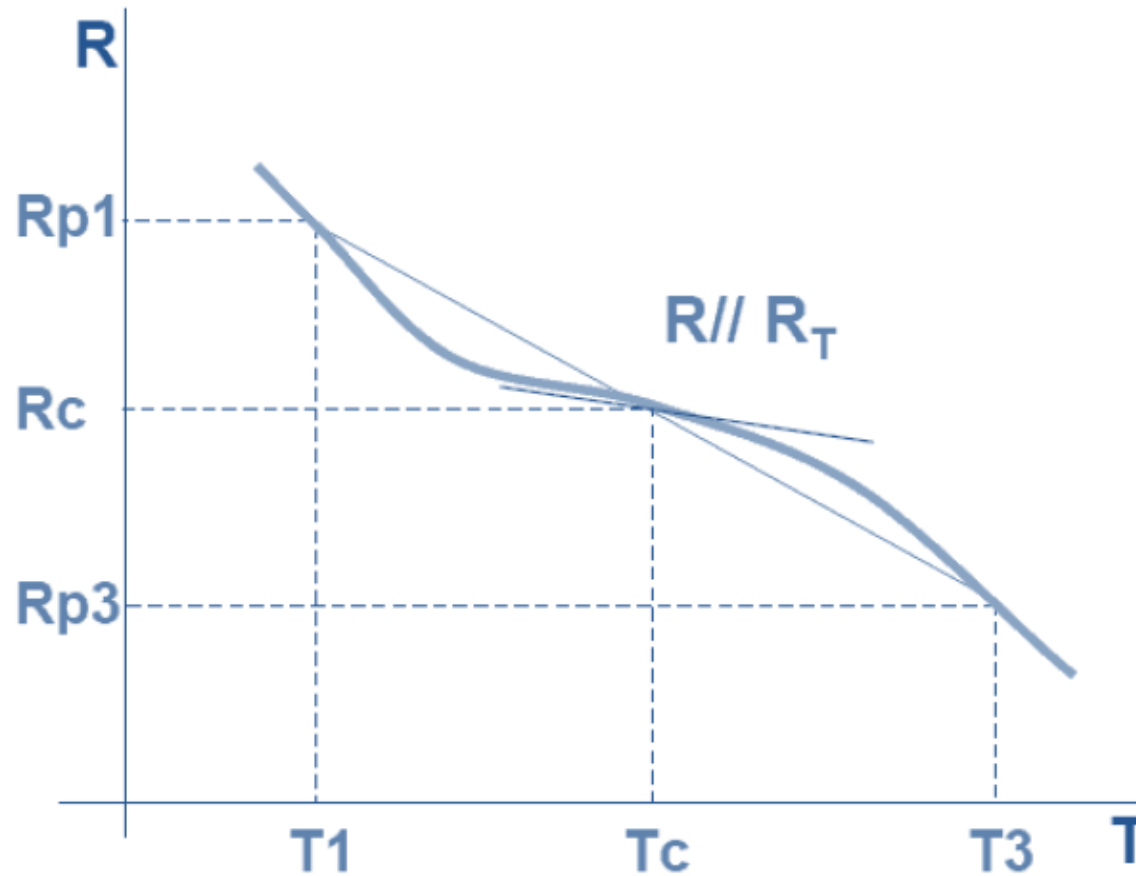




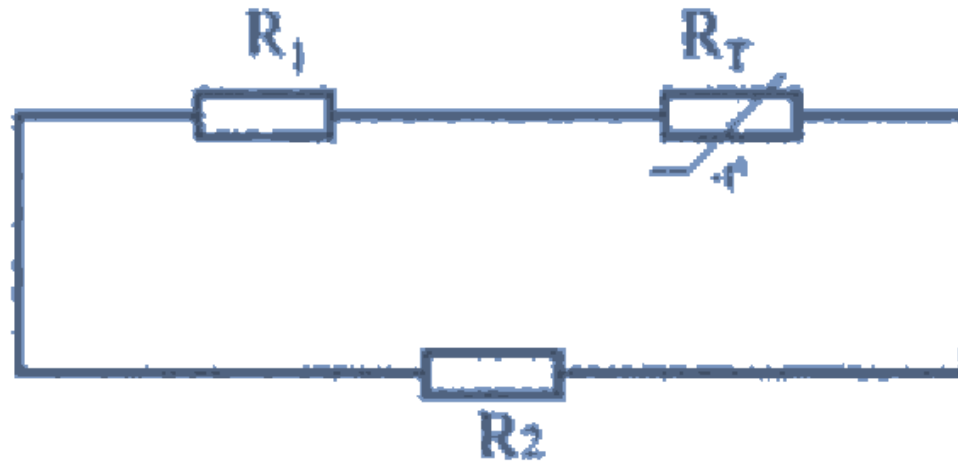
# Sensores Resistivos

$$R = R_{T_c} \frac{B - 2T_c}{B + 2T_c}$$

# Sensores Resistivos



# Sensores Resistivos



$$R_1 = aR_0 \quad R_2 = bR_0 \quad b = \frac{2T_0}{B + 2T_0} \left( \frac{-mB}{R_0} \right)^{1/2}$$

$$\frac{B - 2T_0}{B + 2T_0} - b = a$$

## Linealización por mínimos cuadrados

$$B = Ax$$

$$A^+ B = x$$

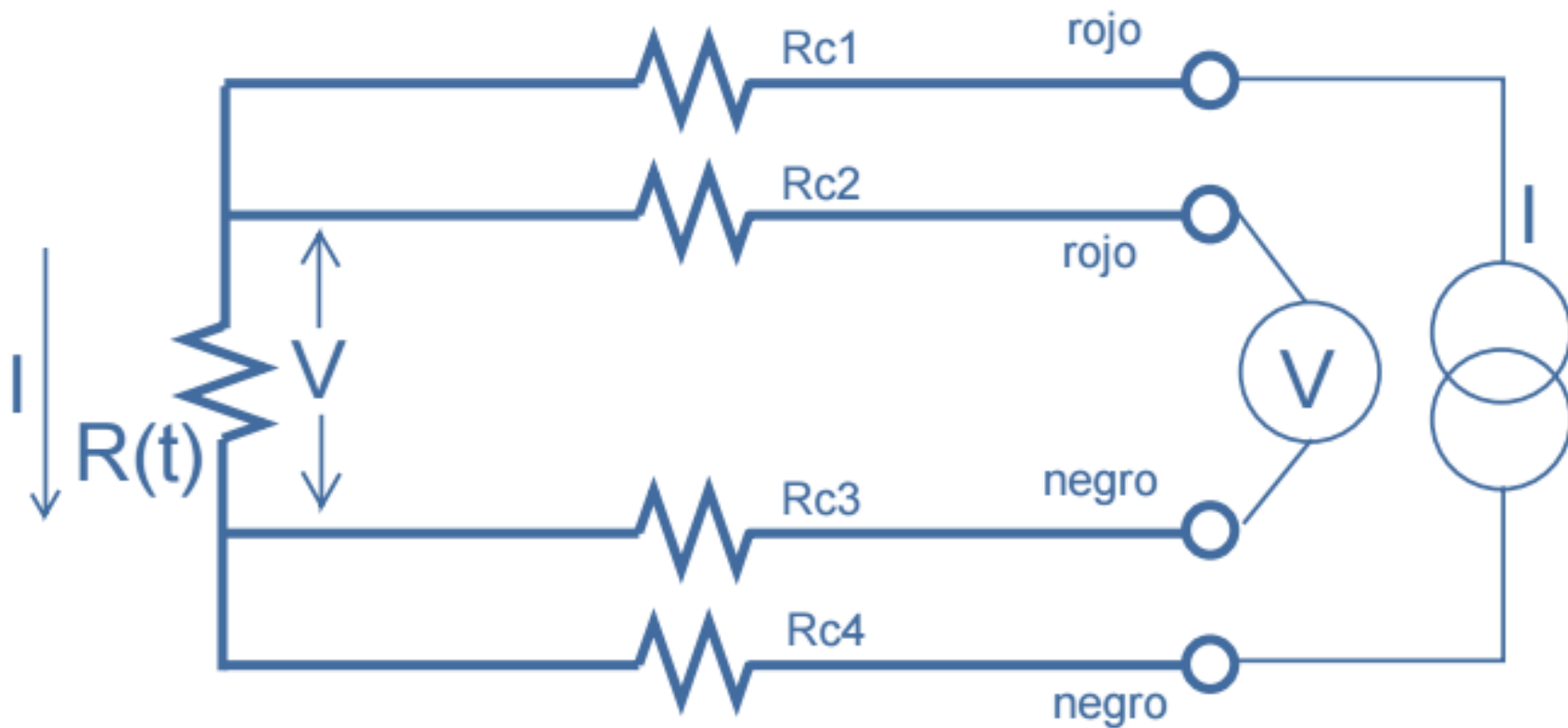
$$A^+ = (A^T A)^{-1} A^T$$

# Sensores Resistivos

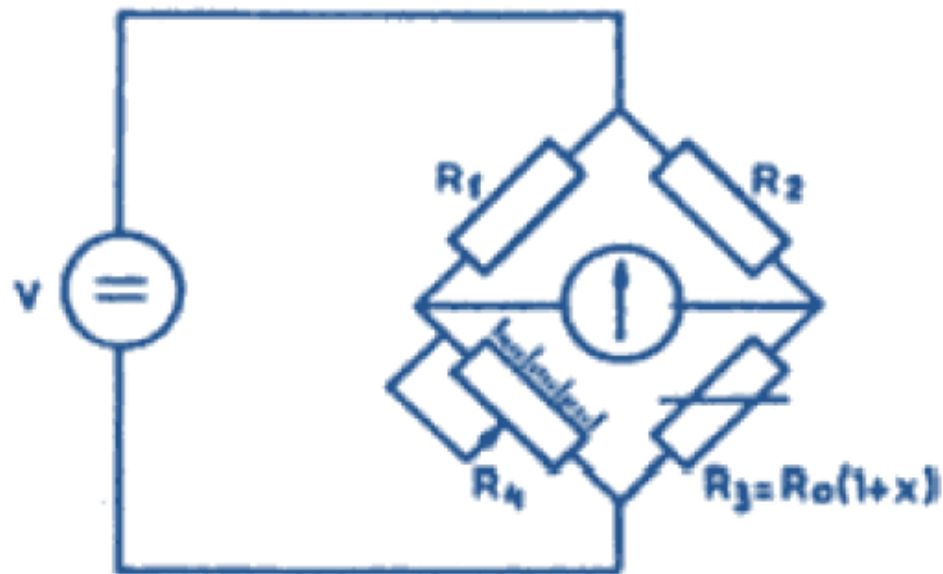
°C	Rt
10	160
20	290
30	560
40	730
50	1005
60	1050
70	1402
80	1510



# Sensores Resistivos

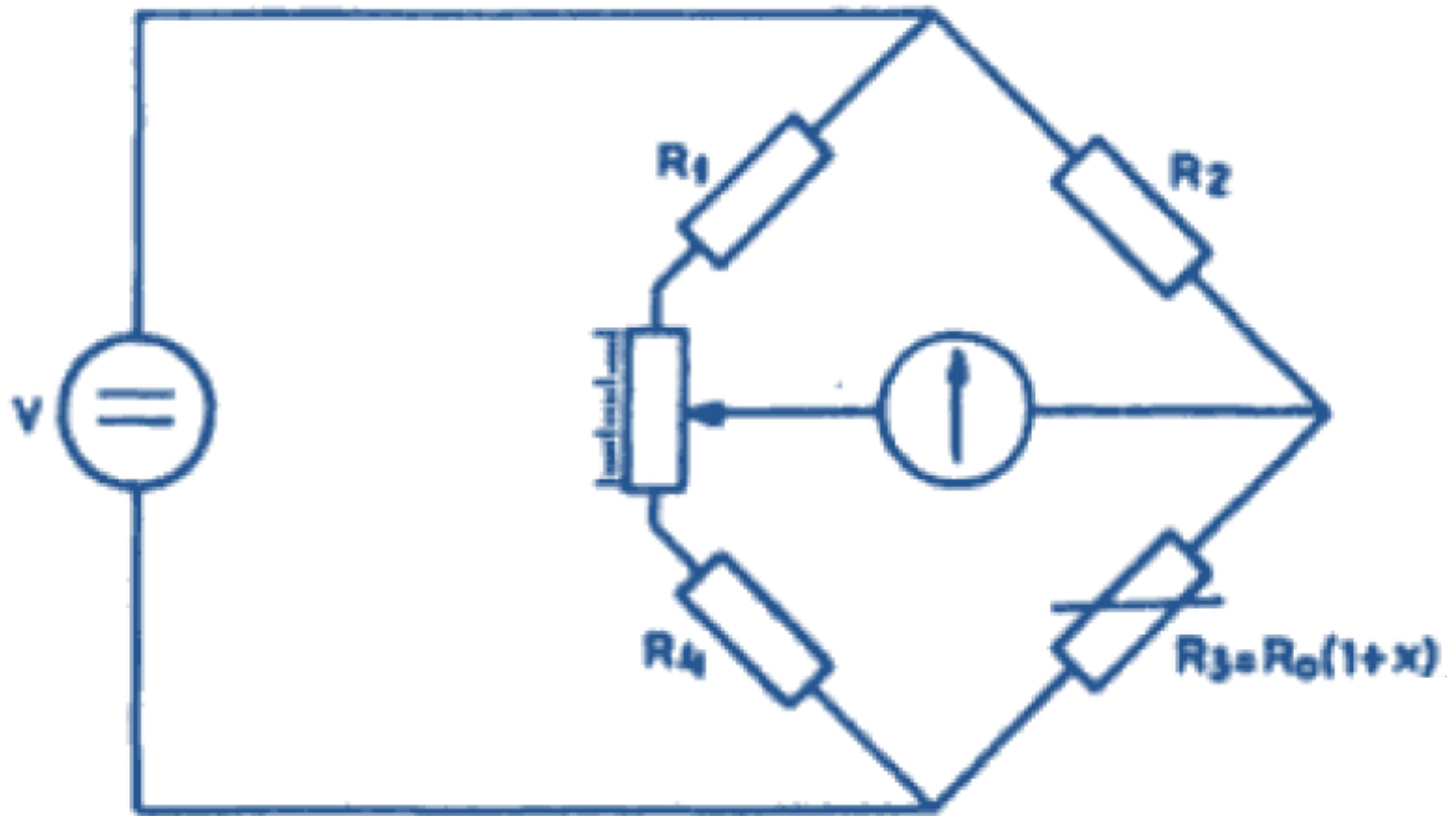


## Puente de Wheatstone

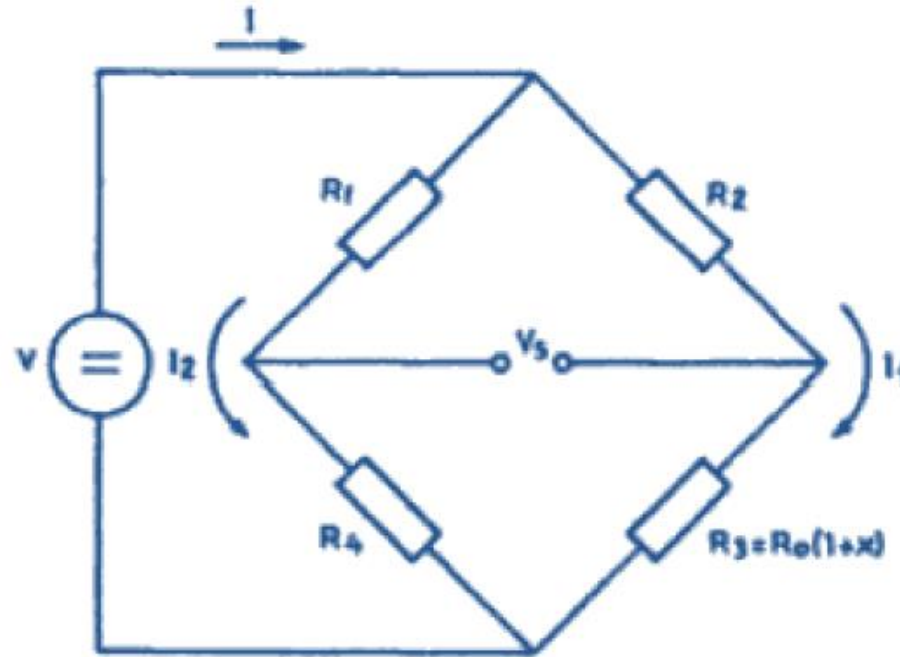


$$R_3 = R_4 \frac{R_2}{R_1}$$

# Sensores Resistivos

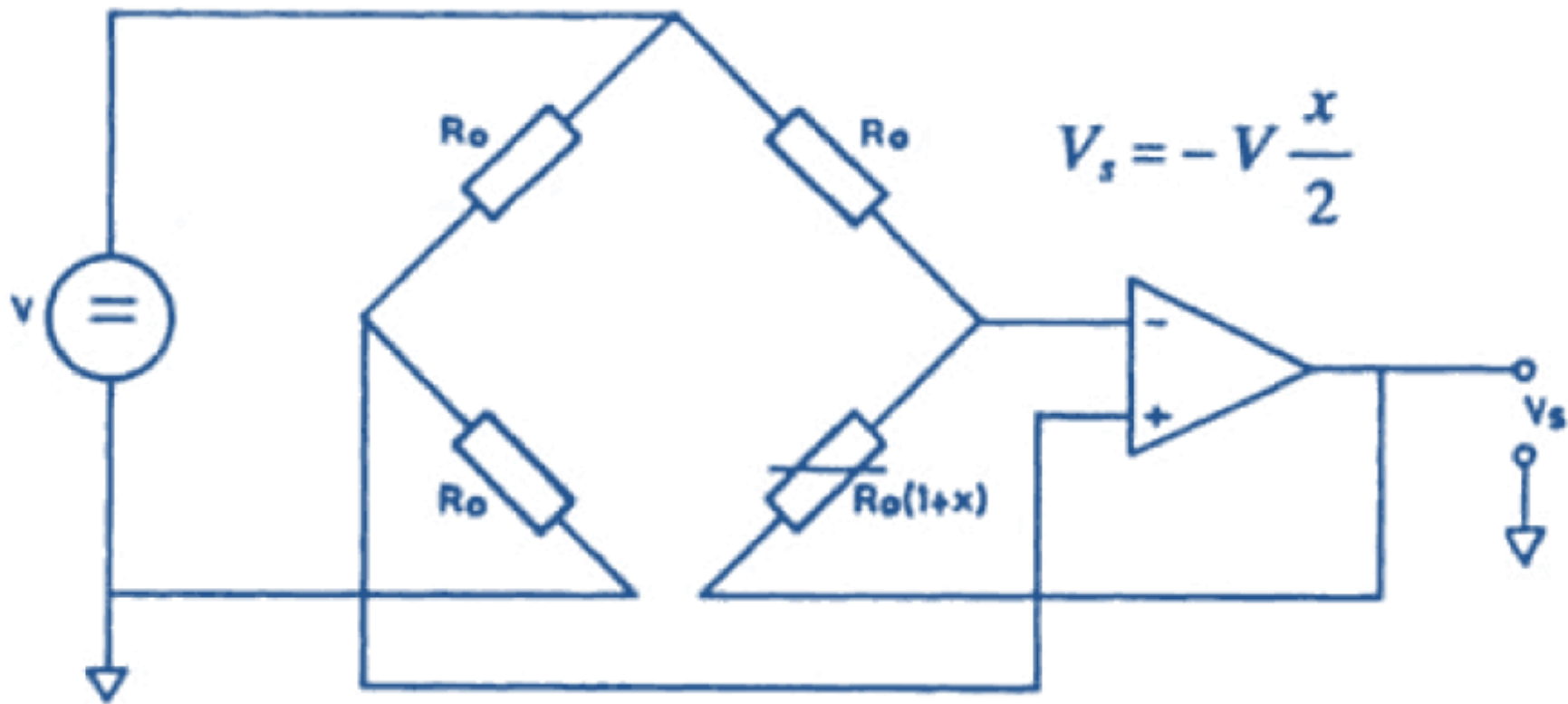


# Sensores Resistivos



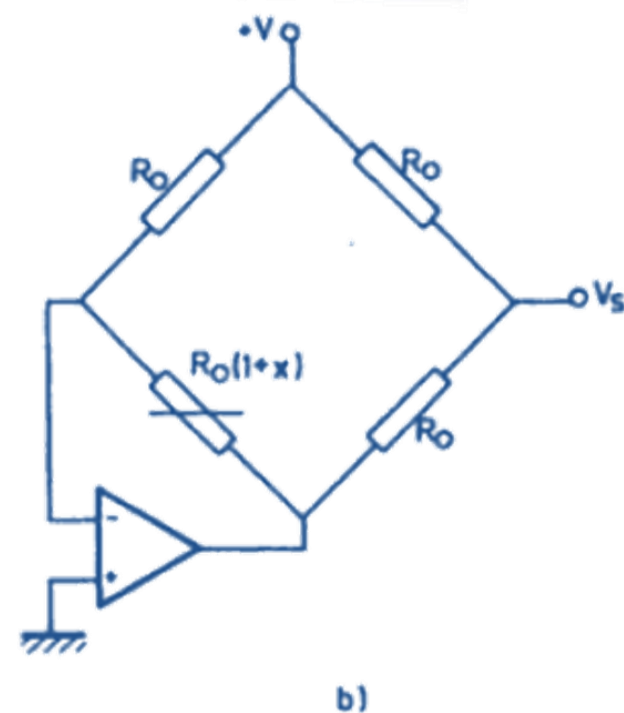
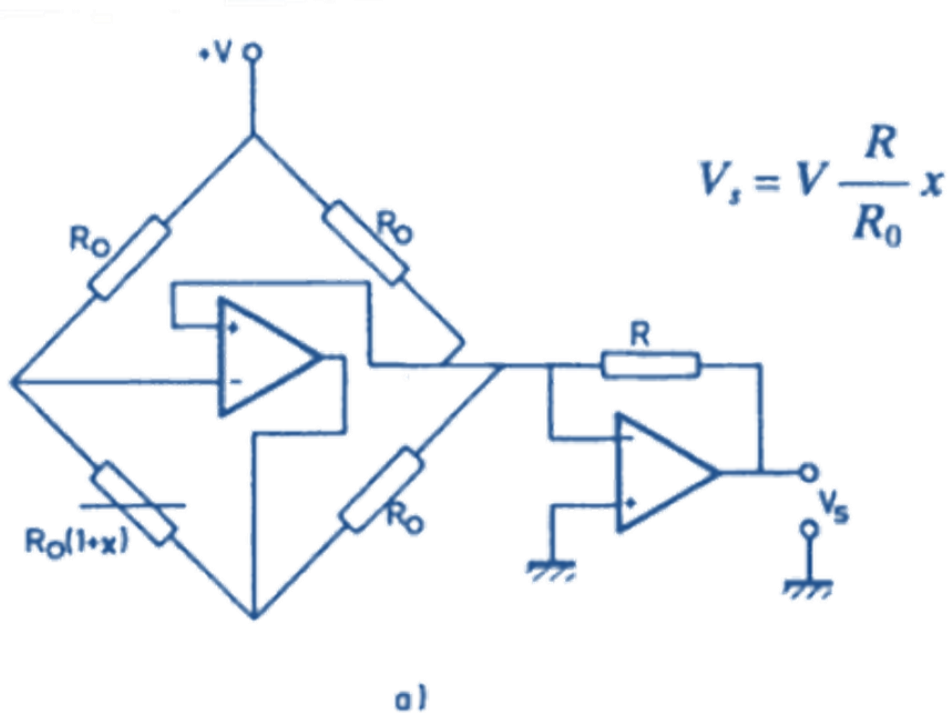
$$V_s = V \left( \frac{R_3}{R_2 + R_3} - \frac{R_4}{R_1 + R_4} \right)$$

# Sensores Resistivos

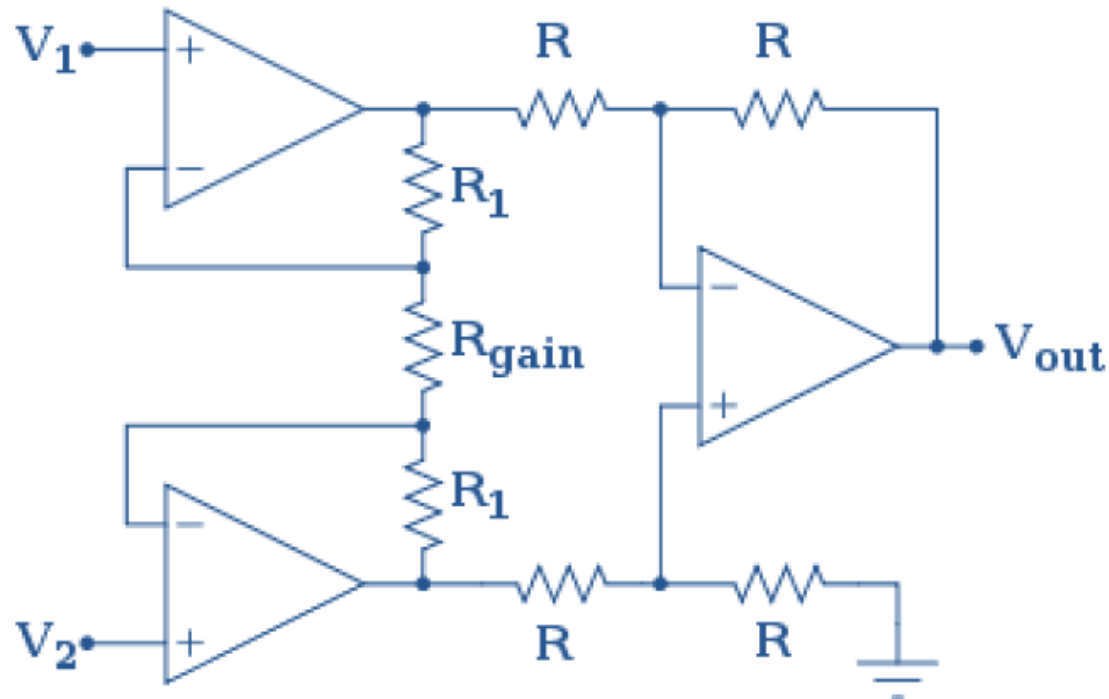




# Sensores Resistivos

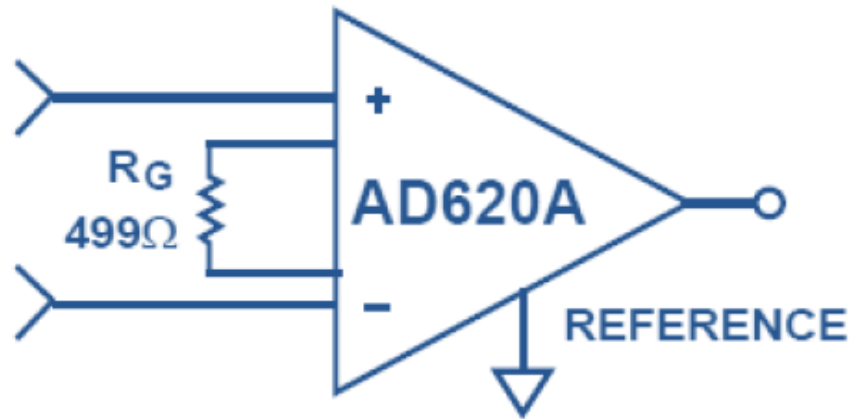


# Sensores Resistivos



$$V_{out} = (V_2 - V_1) \left( 1 + \frac{2R_1}{R_g} \right)$$

# Sensores Resistivos



AD620A MONOLITHIC  
INSTRUMENTATION  
AMPLIFIER,  $G = 100$

$$R_G = \frac{49.4 k\Omega}{G - 1}$$

# Sensores Resistivos

Un termistor tiene una  $R_0 = 22\text{K}\Omega$  a  $25^\circ\text{C}$ , y un  $\beta = 4600\text{K}$ , el sensor trabajara en el rango de  $(50 \text{ a } 150)^\circ\text{C}$ , determine una  $R$  en paralelo para linealizar el sensor. Si el coeficiente de disipación termica es de  $\delta = 9\text{mW/K}$ , determine el error causado por el auto calentamiento del termistor. Diseñe un circuito de adecuación para digitalizar la temperatura en un ADC con referencias de  $(0 \text{ a } 3.3)\text{V}$ .

# Sensores Resistivos

Un NTC tiene una  $R_0 = 1,6\text{K}\Omega$  a  $25^\circ\text{C}$ , y un  $\beta = 3400\text{K}$ , el sensor trabajara en el rango de  $(0 \text{ a } 80)^\circ\text{C}$ . Linealice el sensor, y adecue la señal por medio de un puente de Wheatstone. La temperatura será digitalizada con un ADC con referencias de  $(0 \text{ a } 3.3)\text{V}$ .